

# 现代电磁理论深度解析：从经典直觉到终极统一

## 前言：一份写给探索者的地图

- 本书的目标与读者定位
- 学习建议：如何最大化利用这份文档
- 符号与约定

## 第一章：风起于青萍之末——磁的起源与相对论的初啼

- 1.1 一切磁现象的根源
  - 1.1.1 宏观电流与安培定则：运动电荷的集体行为
  - 1.1.2 变化的电场：麦克斯韦的先知之声
  - 1.1.3 内禀磁矩：微观粒子的“量子自旋”
- 1.2 洛伦兹力之谜：一个思想实验的“法庭质证”
  - 1.2.1 洛伦兹力定律：一个严格的本地化定义
  - 1.2.2 思想实验：“扫过的磁场”为何无效？
  - 1.2.3 物理实在与相互作用规则的根本区别
- 1.3 “磁场是电场的相对论效应”：一个定性到定量的证明
  - 1.3.1 思想实验：通电导线旁的运动电荷
  - 1.3.2 定性分析：长度收缩如何“创造”出电荷密度差
  - 1.3.3 从“力”的等效性看电与磁的初次统一

## 第二章：场与粒子——量子场论的革命性世界观

- 2.1 场的本质：宇宙的终极“材料”
  - 2.1.1 从经典场的“属性地图”到量子场的“宇宙床垫”
  - 2.1.2 真空不空：场的基态与零点能
- 2.2 粒子的诞生：场的量子化激发
  - 2.2.1 涟漪与能量包：光子、电子是什么？
  - 2.2.2  $E = mc^2$ 的深层含义：从真空中“创造”物质——对产生

- **2.3 “荷”：基本力的“入场券”**
  - 2.3.1 电荷、色荷、弱荷：宇宙的“主题公园”比喻
  - 2.3.2 耦合常数：门票的面值与相互作用强度
  - 2.3.3 中微子为何“与世无争”？

## 第三章：对称性的胜利——电磁场的必然诞生

- **3.1 U(1)规范对称性：宇宙的底层语法**
  - 3.1.1 全局相位变换：一个无伤大雅的整体旋转
  - 3.1.2 局部相位变换：一个颠覆性的哲学要求
- **3.2 理论的“崩坏”与“修复”：协变导数的引入**
  - 3.2.1 详细推导：为何局部变换会“污染”物理定律？
  - 3.2.2 “救世主”的降临：协变导数  $D_\mu$  的构造
  - 3.2.3 规范场  $A_\mu$ ：为维护对称性而生的“补偿场”
- **3.3 电荷的终极定义与相互作用的微观图像**
  - 3.3.1 电荷  $q$ ：粒子场与规范场耦合强度的度量
  - 3.3.2 费曼图入门：可视化基本作用的“顶点”

## 第四章：电磁场的统一几何——张量语言的优雅

- **4.1 从经典势到四维矢量： $A^\mu$  的确立**
  - 4.1.1 线索一（Bottom-Up）：从麦克斯韦方程追溯  $V$  和  $\mathbf{A}$
  - 4.1.2 线索二（Top-Down）：相对论协变性对四维矢量的要求
  - 4.1.3 终极“指认”：洛伦兹变换下的完美契合
- **4.2 电磁场张量  $F^{\mu\nu}$ ：规范不变的物理实在**
  - 4.2.1 定义与构造： $F^{\mu\nu} = \partial^\mu A^\nu - \partial^\nu A^\mu$
  - 4.2.2 详细证明：为何  $F^{\mu\nu}$  是规范不变的？
  - 4.2.3 矩阵展开：电场为“时空”分量，磁场为“空空”分量的几何内涵
- **4.3 洛伦兹变换下的电磁场**
  - 4.3.1 张量的洛伦兹变换法则
  - 4.3.2 详细推导： $\mathbf{E}$  与  $\mathbf{B}$  的混合变换公式
  - 4.3.3 “两次补偿”机制的深度剖析：场变换与力公式的协同作用

## 第五章：宇宙的交响乐——麦克斯韦方程组的张量协奏

- **5.1 有源方程：** $\partial_\mu F^{\mu\nu} = \mu_0 J^\nu$ 
  - 5.1.1 逐分量推导：如何从  $\nu = 0$  得到高斯电场定律
  - 5.1.2 逐分量推导：如何从  $\nu = 1, 2, 3$  得到安培-麦克斯韦定律
- **5.2 无源方程：比安基恒等式的物理回响**
  - 5.2.1 方程的数学起源： $F_{\mu\nu}$  定义的必然推论
  - 5.2.2 逐分量推导：如何从纯空间分量得到高斯磁定律
  - 5.2.3 逐分量推导：如何从时空混合分量得到法拉第电磁感应定律
- **5.3 四维洛伦兹力：** $f^\mu = qF^{\mu\nu}u_\nu$ 
  - 5.3.1 从四维力到三维力的推导
  - 5.3.2  $F^{\mu\nu}$  不变与力  $f^\mu$  可变的终极辨析

## 第六章：理论的顶点与地平线——通往终极统一

- **6.1 拉格朗日量与最小作用量原理**
  - 6.1.1 电磁理论的单一“种子”： $\mathcal{L} = -\frac{1}{4\mu_0} F_{\mu\nu} F^{\mu\nu} - J^\mu A_\mu$
  - 6.1.2 从  $\mathcal{L}$  推导有源麦克斯韦方程的数学之旅
  - 6.1.3 为何说拉格朗日量是更本质的统一？
- **6.2 物理学的圣杯：万有理论的展望**
  - 6.2.1 大统一理论（GUT）：力的“趋同”
  - 6.2.2 弦理论/M理论：万物皆为弦音
  - 6.2.3 圈量子引力：时空的“像素化”

## 后记：一份探索的邀请

# 现代电磁理论深度解析：从经典直觉到终极统一

## 前言：一份写给探索者的地图

我们生活在一个由光、电、磁构成的世界里。从点亮黑夜的灯火，到连接全球的通信；从驱动现代文明的电动机，到揭示宇宙奥秘的望远镜，电磁现象无处不在，它以一种近乎“理所当然”的方式，编织着我们日常生活的每一个细节。

然而，在这份熟悉之下，隐藏着物理学中最深刻、最优雅，也最颠覆直觉的理论之一。电磁理论的发展史，本身就是一部人类智识不断突破局限、追求统一与和谐的壮丽史诗。它始于对磁石和琥珀的古老好奇，经由法拉第的直觉、麦克斯韦的数学天才，被整合为一套近乎完美的经典理论。但故事并未就此结束，爱因斯坦的相对论赋予了它全新的时空内涵，而量子场论则将其置于宇宙最基本的**对称性原理**的基座之上。

## 本书的目标与读者定位

这份文档，不满足于仅仅罗列公式和解答习题。它的目标，是为那些不满足于“是什么”，而渴望知道“为什么”的探索者，绘制一幅从经典直觉的海岸，航向现代物理学核心大陆的详尽地图。

它为以下读者而写：

- 正在学习大学物理，但对课本中抽象的公式感到困惑的学生：**我们将为你揭示公式背后的物理图像与逻辑关联。
- 已经掌握基础电磁学，但希望理解其与相对论和量子力学如何交织的进阶者：**我们将带你领略理论在更深层次上的统一与和谐。
- 对物理学怀有热忱，渴望理解宇宙运行底层逻辑的终身学习者：**我们将用尽量清晰的语言，为你呈现物理学家眼中那个由对称性与几何构成的、令人敬畏的实在世界。

我们假定你具备高中物理和基础微积分的知识背景。所有更高级的概念，如张量、规范场等，我们都将从最基本的思想出发，循序渐进地进行介绍。

## 学习建议：如何最大化利用这份文档

- 忘记“背诵”，拥抱“推导”：**本书的核心价值在于逻辑链的完整性。请跟随我们的脚步，亲手

完成每一个推导。这不仅能让你记住公式，更能让你理解公式的“生命”与“意义”。

2. **拥抱思想实验**：物理学的发展离不开思想实验。请将自己代入每一个场景，无论是坐在高速飞船上，还是审视两个电荷的相互作用，主动思考，大胆质疑。
3. **构建物理图像**：不要将物理学视为纯粹的数学游戏。在每个公式背后，都努力构建一幅生动的物理图景，无论是“宇宙的床垫”，还是“基本力的入场券”。物理图景是理解抽象概念的强大拐杖。
4. **反复阅读，交叉验证**：当你对后面的章节有了更深的理解后，再回到前面的章节，你会发现许多当初看似理所当然的陈述，背后蕴含着更深的道理。

## 符号与约定

为了严谨与国际通用性，我们将遵循以下约定：

- **三维矢量**将用粗体字母表示，如电场  $\mathbf{E}$ ，磁场  $\mathbf{B}$ ，速度  $\mathbf{v}$ 。
- **四维矢量/张量**将使用希腊字母索引，如四维速度  $u^\mu$ ，电磁场张量  $F^{\mu\nu}$ 。
- 我们将主要使用国际单位制（SI），但在讨论理论的根本结构时，可能会提及自然单位制（ $c = 1, \hbar = 1$ ）以简化形式。
- **爱因斯坦求和约定**将被使用：在一个单项中，如果一个指标同时以上标和下标的形式出现，则表示对该指标从0到3进行求和。例如  $A^\mu B_\mu$  代表  $A^0 B_0 + A^1 B_1 + A^2 B_2 + A^3 B_3$ 。

### 【数学加油站：闵可夫斯基度规——时空的“尺子”】

#### 1. 从熟悉的“空间距离”开始

在我们熟悉的三维欧几里得空间中，如何衡量两点之间的距离？我们使用毕达哥拉斯定理（勾股定理）。两点之间的距离平方  $dL^2$  是：

$$dL^2 = dx^2 + dy^2 + dz^2$$

这个公式的背后，隐藏着一个“度规”，可以看作是一个单位矩阵  $\text{diag}(1, 1, 1)$ 。这个距离有一个至关重要的特性：**旋转不变性**。无论你怎么旋转你的坐标系（旋转你的尺子），两个固定点之间的距离测量结果永远是相同的。

#### 2. 相对论带来的“麻烦”与“启示”

爱因斯坦的狭义相对论建立在一个颠覆性的公设上：**所有惯性参考系中的观察者，测量到的真空光速  $c$  都是一个常数。**

这个公设立即摧毁了我们对距离和时间的直觉。想象一个在 origin 闪烁的灯泡。光波会形成一个以速度  $c$  扩展的球面，其方程为  $x^2 + y^2 + z^2 = (ct)^2$ ，或者写成  $(ct)^2 - x^2 - y^2 - z^2 = 0$ 。

现在，另一个相对于你高速运动的观察者，他看到的时空坐标是  $(t', x', y', z')$ 。根据光速不变原理，他也必须看到一个以速度  $c$  扩展的球面，即  $(ct')^2 - (x')^2 - (y')^2 - (z')^2 = 0$ 。

这意味着，尽管  $t \neq t'$  且  $x \neq x'$ （时间和空间是相对的），但  $(ct)^2 - x^2 - y^2 - z^2$  这个**组合量**却是不变的（都等于0）！这启发物理学家赫尔曼·闵可夫斯基意识到，这个组合量可能就是那个在时空中扮演“距离”角色的、更深刻的不变量。

### 3. 定义时空的“距离”——不变间隔

事实证明正是如此。在四维时空中，我们不再谈论“距离”，而是谈论“**时空间隔 (Spacetime Interval)**”。两个无限近的时空点（事件）之间的不变间隔的平方  $ds^2$  被定义为：

$$ds^2 = (cdt)^2 - dx^2 - dy^2 - dz^2$$

这个  $ds^2$  才是真正的**洛伦兹不变量**——所有惯性系的观察者，无论他们的相对速度如何，计算出的  $ds^2$  的值都是完全相同的。

而**闵可夫斯基度规  $\eta_{\mu\nu}$** ，就是执行这个计算的“规则手册”或“数学工具”。当我们采用  $\text{diag}(1, -1, -1, -1)$  这个约定，它就告诉我们：要计算时空间隔，你需要将时间分量的平方，减去所有空间分量的平方和。

### 4. 为什么它能衡量“距离”？

因为它抓住了时空几何的本质——**因果结构**。这个“距离”的正负号具有深刻的物理意义：

- $ds^2 > 0$  (**类时间隔**)：意味着  $(cdt)^2 > (dx)^2$ 。两个事件之间的时间间隔足够长，光有足够的时间从一个事件传播到另一个。它们之间可以建立因果联系（比如，事件A可以是事件B的原因）。
- $ds^2 < 0$  (**类空间隔**)：意味着  $(cdt)^2 < (dx)^2$ 。两个事件之间的空间距离太远，即使是光速也来不及在给定的时间间隔内从一个传播到另一个。它们之间没有任何因果联系。
- $ds^2 = 0$  (**类光间隔**)：只有光才能连接这两个事件。

因此，闵可夫斯基度规定义的“距离”，不仅仅是几何上的长度，它更是对时空中事件之间**因果关系**的根本度量。

## 5. 在本书中的应用

这个度规是我们后续所有四维矢量运算的基石。例如，它被用来进行四维矢量的“内积”（ $A \cdot B = A^\mu B_\mu = \eta_{\mu\nu} A^\mu B^\nu$ ），以及进行指标的“升降”（例如，从逆变矢量  $A^\mu = (A^0, \mathbf{A})$  得到协变矢量  $A_\mu = \eta_{\mu\nu} A^\nu = (A^0, -\mathbf{A})$ ）。理解它，是理解相对论性电磁理论的第一步。

现在，请准备好你的笔和纸，以及一颗开放和好奇的心。我们的旅程，即将从那看似简单却蕴含无穷奥秘的磁场开始。欢迎来到现代电磁理论的世界。

# 第一章：风起于青萍之末——磁的起源与相对论的初啼

## 引言：旧现象，新视角

在人类对自然的探索中，磁的神秘感或许仅次于引力。一块冰冷的石头（磁铁矿）何以能隔空吸引另一块金属？一根通上电的普通铜线，又为何能让一旁的指南针疯狂舞动？这些看似孤立的现象，背后指向了同一个深刻的物理实在。本章的使命，就是从这些经典问题出发，但以一种全新的、蕴含着未来理论种子的方式去审视它们，剥茧抽丝，一步步揭示磁场的本质，并最终让你瞥见那隐藏在经典幕布后的、由相对论投下的第一缕曙光。

### 1.1.1 宏观电流与安培定则：运动电荷的集体行为

这是磁场最经典、最直观的来源。

#### 【历史回响：奥斯特的偶然发现】

1820年，丹麦物理学家汉斯·克里斯蒂安·奥斯特（Hans Christian Ørsted）在一次讲座中，为了演示电流的热效应，将一根导线连接到电池上。他偶然注意到，当导线中有电流通过时，桌上罗盘的磁针发生了意想不到的偏转。这个简单的课堂演示，首次雄辩地证明了**电可以生磁**，打破了此前电与磁是两种独立现象的普遍认知，为电磁学的统一大业开启了大门。

#### 从宏观电流到微观电荷

奥斯特的实验揭示了宏观的**电流**是磁场的来源。但物理学追求更根本的解释：电流本身是什么？

在金属导线中，电流的微观本质是海量自由电子的**集体定向运动**。我们可以这样理解这个过程：

- 无序的热运动**：在没有外加电压时，金属内部的自由电子像容器中的气体分子一样，在进行着高速、随机的热运动。由于运动方向杂乱无章，从宏观上看，任何方向通过的电子数都相等，没有净电荷流动，因此**不产生电流，也没有磁场**。
- 有序的集体漂移**：一旦在导线两端施加电压，强大的电场力会驱动所有自由电子，在它们原本杂乱的热运动之上，叠加一个朝着特定方向（通常与电场方向相反）的、平均的**定向漂移**。
- 微观与宏观的联系**：虽然单个电子的平均漂移速度极其缓慢（通常仅为毫米/秒量级），但金属中的自由电子密度却是天文数字（约  $10^{28}$  个/立方米）。正是这**无数微观电荷有序的集体行为**，构成了我们在宏观上测量到的、能够产生显著效应的电流  $I$ 。



因此，我们可以得出本节的核心结论：**运动的电荷产生磁场**。宏观电流所产生的磁场，正是其内部海量运动电荷所产生磁场的矢量叠加。这个看似简单的结论，是我们理解一切磁现象的起点。

## 定量描述

在确立了“运动电荷生磁”的定性认识后，物理学家们迅速给出了精确的数学描述。

- **毕奥-萨伐尔定律 (Biot-Savart Law)**：这是一个更基本的定律，它描述了一个无穷小的电流元  $I d\mathbf{l}$  在空间某点  $\mathbf{r}$  处产生的微小磁场  $d\mathbf{B}$ 。

$$d\mathbf{B} = \frac{\mu_0}{4\pi} \frac{I d\mathbf{l} \times \hat{\mathbf{r}}}{r^2}$$

其中， $\mu_0$  是真空磁导率（一个基本物理常数，其值为  $4\pi \times 10^{-7} \text{ T} \cdot \text{m/A}$ ）， $\hat{\mathbf{r}}$  是从电流元指向该点的单位矢量。这个公式的矢量叉乘  $\times$  结构，天生就决定了磁场是环绕着电流的。

- **安培环路定律 (Ampere's Circuital Law)**：当电流分布具有高度对称性时（例如无限长直导线或螺线管），安培定律提供了一个更简便的计算方法。它指出，磁场  $\mathbf{B}$  沿任意闭合路径  $C$  的线积分，等于穿过该路径所围成面积的净电流  $I_{\text{enc}}$  乘以  $\mu_0$ 。

$$\oint_C \mathbf{B} \cdot d\mathbf{l} = \mu_0 I_{\text{enc}}$$

## 方向判断

为了直观地判断磁场的方向，我们使用著名的**安培定则（右手螺旋定则）**：

用右手握住导线，让大拇指指向电流的（正电荷流动）方向。此时，你弯曲的四指所环绕的方向，就是磁感线的方向。

### 1.1.2 变化的电场：麦克斯韦的先知之声

如果说电流生磁是实验的发现，那么变化的电场生磁，则是理论物理学的伟大胜利。詹姆斯·克拉克·麦克斯韦在整理和统一当时的电磁学知识时，发现安培环路定律在数学上存在一个逻辑缺陷（当应用于给电容器充电这类非稳恒电流情况时）。

为了弥补这个缺陷，他大胆地提出了一个全新的假设：**一个随时间变化的电场  $\partial \mathbf{E} / \partial t$ ，其效果等同于一种电流，同样可以在周围空间中激发出磁场**。他将这一项称为“位移电流密度”  $\mathbf{J}_D = \epsilon_0 (\partial \mathbf{E} / \partial t)$ ，其中  $\epsilon_0$  是真空介电常数。

修正后的安培定律，现在被称为**安培-麦克斯韦定律**，其微分形式为：

$$\nabla \times \mathbf{B} = \mu_0 \mathbf{J} + \mu_0 \varepsilon_0 \frac{\partial \mathbf{E}}{\partial t}$$

这个新增的项  $\mu_0 \varepsilon_0 (\partial \mathbf{E} / \partial t)$  意义极其深远：

- **对称之美**：法拉第电磁感应定律告诉我们“变化的磁场能产生电场 ( $\nabla \times \mathbf{E} = -\partial \mathbf{B} / \partial t$ )”，而麦克斯韦的补充则完美地构成了“变化的电场也能产生磁场”的对称画面。这是一种深刻的自然和谐。
- **电磁波的诞生**：正是这种“你生我，我生你”的交替循环机制，使得电磁场可以脱离电荷和电流的束缚，以波的形式在空间中自我传播。麦克斯韦通过计算，预言了这个波的速度  $c = 1 / \sqrt{\varepsilon_0 \mu_0}$ ，其数值与当时测量的光速惊人地吻合，从而做出了石破天惊的论断：**光，就是一种电磁波**。

### 1.1.3 内禀磁矩：微观粒子的“量子自旋”

除了电荷的宏观运动（电流）和场的动态变化，磁场的第三个来源深植于量子世界。许多基本粒子，如电子、质子、中子，都具有一种称为**自旋角动量**的内禀属性。这是一种纯粹的量子力学效应，**不能**简单地类比为宏观物体的自转，但它确实表现为一个固有的、量子化的角动量。

更重要的是，带电粒子的自旋角动量总是伴随着一个**内禀磁矩  $\mu$** 。可以将其想象为，每个电子都像一个永不消逝的、极微小的指南针，其N、S极方向与自旋方向绑定。

- **来源**：这种磁性是粒子**与生俱来**的属性，如同它的质量和电荷一样，是其基本身份的一部分，是量子场论中粒子场的基本性质。
- **宏观体现**：我们日常生活中遇到的**永久磁铁**（如铁、钴、镍等铁磁性材料），其强大的磁性并非源于内部的宏观电流。它的根本原因在于，材料中原子的外层电子（主要是未配对电子）的自旋磁矩，在外磁场的作用下发生了大规模的、指向一致的**有序排列**。当外磁场撤去后，由于材料内部的量子力学交换作用，这种有序排列能够被“锁定”下来，从而在宏观上表现出稳定的磁性。

#### 本节小结

磁场的来源被统一在“电荷”这一核心概念之下，它通过三种方式展现自身：

1. **电荷的集体定向运动（宏观电流）。**
2. **电荷产生的场随时间的变化（变化的电场）。**
3. **带电粒子自身内禀的量子属性（自旋）。**

## 1.2 洛伦兹力之谜：一个思想实验的“法庭质证”

我们已经知道磁场如何产生，现在的问题是，它如何作用于其他物体？洛伦兹力公式给出了答案，但其形式也带来了深刻的困惑，必须对其进行极其严格的解读。

### 1.2.1 洛伦兹力定律：一个严格的本地化定义

描述一个电荷  $q$  在电磁场中受力的定律，是物理学的基石之一——洛伦兹力定律。

#### 洛伦兹力定律

在一个**确定的、单一的惯性参考系**中，一个电荷为  $q$ 、速度为  $\mathbf{v}$  的粒子，在其**所在的时空点**上，如果测得的电场为  $\mathbf{E}$ 、磁场为  $\mathbf{B}$ ，则该粒子受到的力  $\mathbf{F}$  为：

$$\mathbf{F} = q(\mathbf{E} + \mathbf{v} \times \mathbf{B})$$

这个定义的**本地化 (local)** 和**相对参考系 (frame-dependent)** 的特性，是解开所有谜题的关键。

### 1.2.2 思想实验：“扫过的磁场”为何无效？

#### “案情”陈述：

- 一个源电荷  $Q$  以速度  $\mathbf{v}_Q$  运动，在其周围产生了电场  $\mathbf{E}_Q$  和磁场  $\mathbf{B}_Q$ 。
- 一个测试电荷  $q$  静止在空间某点， $\mathbf{v}_q = 0$ 。
- 随着  $Q$  的运动，它产生的磁场  $\mathbf{B}_Q$  毫无疑问地在“扫过”或“穿过” $q$  所在的位置。
- **问题：**  $q$  是否会因为这个“扫过”的磁场而感受到磁场力？

#### “法庭”审理：

我们现在扮演法官，严格依据《洛伦兹力法典》进行判决。

1. **传唤证人（进行测量）：** 在实验室这个参考系中，我们测量得到：测试电荷  $q$  的速度  $\mathbf{v}_q = 0$ ；在  $q$  所在的位置，磁场  $\mathbf{B}_Q \neq 0$ 。
2. **应用法条（代入公式）：** 我们计算磁场力分量  $\mathbf{F}_B = q(\mathbf{v}_q \times \mathbf{B}_Q)$ 。
3. **得出结论：** 将测量值代入，得到  $\mathbf{F}_B = q(0 \times \mathbf{B}_Q)$ 。根据矢量代数的公理，任何矢量与零矢量的叉乘结果必然是零矢量。因此， $\mathbf{F}_B = 0$ 。

**判决：** 尽管存在一个非零且动态变化的磁场，但由于被作用的粒子本身在该参考系下速度为零，故其受到的磁场力**严格为零**。

### 1.2.3 物理实在与相互作用规则的根本区别

这个判决结果似乎违背直觉。我们的直觉混淆了两个根本不同的概念。

#### 【观念辨析：场的存在 vs. 力的产生】

- **场的存在 (物理实在)**: 由源电荷  $Q$  产生的  $B$  场是客观存在的，它的确在时间和空间中演化。它是一张覆盖时空的“地图”。
- **力的产生 (相互作用规则)**: “力”不是场单方面的属性，而是**场与粒子共同作用**的结果。洛伦兹力定律就是这本地图的“使用说明书”。

这本“说明书”明确规定，磁场这一项要“生效”，必须满足一个前置条件：**被作用的粒子本身必须相对于本地图运动** ( $v \neq 0$ )。这个规则并非随意的规定，它深植于物理定律的自治性与相对论的协变性之中，这正是物理世界保持和谐统一的关键。

将“力”理解为在相互作用的瞬间，由“**场的状态**”和“**粒子的状态 (包括其速度)**”共同 **动态生成**的结果，是理解此问题的关键。

## 1.3 “磁场是电场的相对论效应”：一个定性到定量的证明

现在，我们准备揭示本章最核心的思想：电与磁并非并列的两种力，而是同一个电磁实在在不同观测视角下的不同“投影”。

### 1.3.1 思想实验：通电导线旁的运动电荷

让我们构建一个更精巧的思想实验，它将被我们反复使用：

- **场景**：一根无限长的直导线，其中包含两种电荷：
  - 静止的、带正电的金属阳离子，单位长度的电荷密度为  $+\lambda_0$ 。
  - 以漂移速度  $\mathbf{v}_d$  运动的、带负电的自由电子，单位长度的电荷密度为  $-\lambda_0$ 。
- **整体电中性**：在**实验室参考系 S** 中，正负电荷密度恰好抵消，所以导线整体呈电中性。导线中存在一个大小为  $I = \lambda_0 v_d$  的稳恒电流。
- **测试粒子**：一个带正电的粒子  $q$ ，正以速度  $\mathbf{v}$ （与电子运动方向相同）在距离导线  $r$  的地方平行于导线运动。

### 1.3.2 定性分析：长度收缩如何“创造”出电荷密度差

现在，我们分别从两个不同的惯性参考系来分析  $q$  的受力情况。

## 分析一：在实验室参考系 S 中

1. **电场力**：由于导线是电中性的，它不产生净的电场。因此，电场力  $\mathbf{F}_E = 0$ 。
2. **磁场力**：导线中的电流  $I$  产生一个环绕它的磁场  $\mathbf{B}$ 。在  $q$  所在的位置，根据安培定律，磁场大小为  $B = \frac{\mu_0 I}{2\pi r}$ 。根据右手定则，如果电流向右，则  $q$  上方的磁场方向是“射出纸面”的。
3. **洛伦兹力**： $q$  以速度  $\mathbf{v}$  在磁场  $\mathbf{B}$  中运动，受到的洛伦兹力  $\mathbf{F}_B = q(\mathbf{v} \times \mathbf{B})$ 。根据矢量叉乘规则（右手定则），这个力的方向指向导线（吸引力）。

**S系的结论：** 粒子  $q$  受到了一个**纯粹的磁场力**，被吸引向导线。

## 分析二：在测试粒子参考系 S' 中（与 $q$ 同步运动）

现在，我们跳到  $q$  的“肩膀”上，以它的视角来看世界。

1. **粒子状态**：在 S' 系中， $q$  是静止的 ( $\mathbf{v}' = 0$ )。根据洛伦兹力定律，它受到的磁场力**必然为零**。
2. **力的来源**：然而，我们在S系中已经确定  $q$  会受力，这个物理事实是绝对的。既然磁力为零，那么在S'系中，这个力**只能是电场力**！ $\mathbf{F}' = q\mathbf{E}'$ 。
3. **电场  $\mathbf{E}'$  从何而来？**——爱因斯坦的狭义相对论登场了。

### 狭义相对论之长度收缩

运动的物体在运动方向上的长度，在静止的观测者看来会变短， $L = L_0/\gamma$ ，其中  $L_0$  是物体静止时的长度（固有长度），而  $\gamma = 1/\sqrt{1 - v^2/c^2}$  是洛伦兹因子。

我们用这个效应来分析S'系中的导线：

- **正离子的视角**：在 S' 系中，原本在S系静止的正离子正在以速度  $-\mathbf{v}$  反向运动。它们的间距会收缩，单位长度内的正电荷密度会**增加**， $\lambda'_+ = \gamma_v \lambda_0 > \lambda_0$ 。
- **电子的视角**：电子原本的速度是  $\mathbf{v}_d$ 。在S'系看来，它们的速度需要通过相对论速度加法公式计算，得到  $\mathbf{v}'_d$ 。由于  $q$  与电子同向运动，这个相对速度会比  $v$  和  $v_d$  都小。这意味着，电子相对于S'系的洛伦兹因子  $\gamma'_d$  会比正离子相对于S'系的洛伦兹因子  $\gamma_v$  要小。因此，电子间距的收缩效应**减弱**了，单位长度内的负电荷密度大小的增加幅度也较小， $|\lambda'_-| = \gamma'_d \lambda_0$ 。

## 惊人的结果：

在 S' 系中，正电荷密度  $\lambda'_+$  **不再等于** 负电荷密度  $|\lambda'_-|$ ！由于  $\gamma_v > \gamma'_d$ ，导线整体带上了**净的正电荷**！

这根带净正电的导线，自然会在其周围产生一个径向向外的**电场  $\mathbf{E}'$** 。但是，请注意，我们的例

子中，S系观察到的是吸引力，这意味着在S'系中也必须是吸引力。这意味着S'系中的导线应该带**净负电**。这取决于 $v$ 和 $v_d$ 的相对大小，如果 $v > v_d$ ，则S'系中的电子相对于正离子运动得更快，负电荷密度收缩更厉害，导线带净负电，产生吸引力。这里的核心思想不变：**相对运动导致了净电荷密度的出现**。

### 1.3.3 从“力”的等效性看电与磁的初次统一

通过这个思想实验，我们得到了一个革命性的结论：

**同一个物理现象（粒子q受力偏向导线），在不同的惯性参考系中，被归结为完全不同的“力”的来源。**

- **S系观测者**：“我用磁场和洛伦兹力定律解释了一切。”
- **S'系观测者**：“胡说，我明明只看到了电场和库仑定律的作用。”

谁是对的？**都对**。

他们只是从各自的视角，用各自的测量工具（ $\mathbf{E}$ ,  $\mathbf{B}$  或  $\mathbf{E}'$ ,  $\mathbf{B}'$ ）描述了同一个客观实在。这雄辩地证明了：

- **电场和磁场不是孤立的实体**，而是同一个更根本的“电磁场”的两个不同侧面。
- **磁场可以被看作是电场在相对论效应下的必然产物**。一个观测者看到的纯电场，在另一个相对他运动的观测者看来，必然会伴随着磁场的出现。反之亦然。

## 第一章总结

在本章，我们重走了电磁学最初的探索之路，但每一步都带上了相对论的“眼镜”。我们从电荷的运动（电流）、场的动态变化（麦克斯韦增项）和内禀属性（自旋）三个方面，将所有磁现象的起源统一到了“电荷”这一根本概念上。随后，通过一个对洛伦兹力定律的严格“法庭质证”，我们澄清了“场的存在”与“力的产生”之间的关键区别。最终，在“通电导线旁的运动电荷”这一核心思想实验中，我们见证了狭义相对论的长度收缩效应如何将一个参考系中的“纯磁场力”，在另一个参考系中“变身”为“纯电场力”。

这不仅揭示了磁场的本质，更重要的是，它将电、磁、以及时空运动这三个看似无关的概念，第一次深刻地联系在了一起，为我们接下来深入探索电磁场的统一理论，打下了坚实的概念基础。

---

#### 【本章思考题】

考虑两根平行的通电导线。如果电流同向，它们相互吸引；如果电流反向，它们相互排斥。

1. 请尝试运用本章1.3节的思想，从其中一根导线上的电子的视角（S'系）出发，只用电场力的概念，来解释这两种情况下的吸引和排斥现象。
2. (进阶) 在经典力学中，牛顿第三定律（作用力与反作用力）要求两个物体间的相互作用力大小相等、方向相反、作用在同一直线上。在磁相互作用中，这个定律是否总是成立？（提示：考虑一个运动电荷与一根载流导线的作用力）

# 第二章：场与粒子——量子场论的革命性世界观

## 引言：当“基本砖块”不再永恒

在第一章，我们看到熟悉的磁场竟是相对论效应的“伪装”。现在，我们要审视一个更基本的概念：构成物质世界的“基本砖块”——例如，电子。在经典物理的图像中，电子是一个永恒的、不可分割的微小球体。你可以移动它，加速它，但你永远不能创造或消灭一个电子。这个“物质守恒”的观念深入人心。

然而，20世纪的实验物理学家们却在云室和加速器中看到了令人不安的景象：一个高能的光子（纯能量）撞击原子核后，可以**凭空**变出一对正、负电子；反之，一个电子和一个正电子相遇，它们会**彻底消失**，化为两个光子。

### 【观念的危机：粒子不再守恒】

经典物理的“小球”模型在此刻彻底失效。如果粒子是可以被“创造”和“消灭”的，那么它们就不可能是宇宙最根本的、永恒的构成单元。现实迫使我们去寻找一个更深层次的、在这些生灭变换中保持不变的“某种东西”。这一章的使命，就是带你找到那个东西——**场**。

## 2.1 场的本质：宇宙的终极“材料”

为了理解粒子如何能够“无中生有”，我们必须彻底颠覆对“场”和“空间”的认知。

### 2.1.1 从经典场的“属性地图”到量子场的“宇宙床垫”

我们首先需要升级我们对比喻的理解：

- **经典场的图像（“属性地图”）**：在第一章，我们将电场和磁场理解为空间的一种属性。就像一张覆盖整个空间的地图，在每一点都标注了一个矢量（表示力的大小和方向）。场是静态的背景，而粒子是在这个背景上运动的演员。场告诉粒子如何运动，但场本身不是“物质”。
- **量子场的图像（“宇宙床垫”）**：量子场论（QFT）告诉我们，这种主客体的分离是错误的。**场，就是舞台本身，就是构成宇宙的“面料”**。想象整个宇宙被一张张巨大无边、相互交织重叠的“床垫”所铺满。这些“床垫”就是**量子场**。
  - 有一张专门的“**电子场**”床垫，它遍布宇宙的每一个角落。
  - 有一张专门的“**电磁场（或称光子场）**”床垫，同样无处不在。
  - 还有各种“**夸克场**”、“**希格斯场**”等等，每一种基本粒子都对应着一种遍布全宇宙的场。
  - 宇宙的基本构成，就是这些不同种类、遍布时空的量子场的集合。它们才是最基本的物



理实在，是永恒的、守恒的实体。

## 2.1.2 真空不空：场的基态与零点能

在这个新图像中，我们通常所说的“真空”或“虚空”，并非“一无所有”的绝对虚无。

- **真空的定义**：真空是所有量子场都处于其 **最低能量状态（基态）** 的特殊状态。它就像一张完美平整、静止无波的“床垫”。
- **零点能与虚粒子**：根据量子力学的不确定性原理，即使在基态，场也无法做到绝对的“静止”。它始终存在着微小的、无法被完全抹平的量子涨落。这种基态能量被称为**零点能**。这些永不停歇的、瞬息瞬灭的能量涨落，会短暂地激发出“虚粒子对”（例如，一个电子和一个正电子凭空出现，然后在极短时间内相互湮灭）。

### 【观念辨析：真空是一片“沸腾的海洋”】

在QFT的视角下，真空不再是宁静的虚空，而是一个充满潜在活力的动态实体。虽然我们无法直接“捞出”虚粒子并进行测量（因为它们的出现违反了宏观的能量守恒，但由于不确定性原理，在极短时间内是允许的），但它们的存在确实产生了可观测的物理效应，例如**兰姆移位（Lamb Shift）**和**卡西米尔效应（Casimir Effect）**，这些都为“真空不空”提供了坚实的实验证据。

## 2.2 粒子的诞生：场的量子化激发

如果场是床垫，那么粒子是什么？答案正是解决上一节危机的关键。

**定义：粒子是场本身的、量子化的、局部的激发态。**

- **激发与涟漪**：当外界向某个场注入足够的能量时（比如通过粒子碰撞），就如同用手在“宇宙床垫”上敲了一下。这个能量会使场从平整的基态跃起，产生一个**涟漪或振动**。这个在场中传播的涟漪，就是我们宏观上探测到的“粒子”。
  - **一个光子  $\gamma$** ：是**电磁场**的一个量子化激发。
  - **一个电子  $e^-$** ：是**电子场**的一个量子化激发。

现在，我们可以用这个全新的视角来解释粒子“创生”的奥秘了：

- **对产生（Pair Production）**：一个高能光子（电磁场的一个巨大涟漪）的能量，传递给了原本处于基态（真空）的电子场。如果能量足够（ $E > 2m_e c^2$ ），电子场就会被“敲”出两个涟漪：一个电子和一个正电子。
  - **能量（电磁场的激发）** → **物质 + 反物质（电子场的激发）**

这并不是“无中生有”，而是能量从一种场的激发模式，转化为了另一种场的激发模式。真正守恒的，是宇宙的总能量和底层的量子场，而不是我们观测到的“粒子”的数量。

## 2.3 “荷”：基本力的“入场券”

我们已经理解了粒子是如何“产生”的。但新的问题随之而来：如果电子和光子都只是各自场的激发，那么它们之间为何会存在“电磁相互作用”？为什么“电子场”的涟漪会感受到“电磁场”涟漪的推挤？

答案在于一个全新的概念：“荷”（Charge）。

**定义：“荷”，不是粒子携带的一种“属性物质”（即荷不能独立于粒子存在），而是描述两个不同场之间是否存在“耦合”（Coupling），以及这种耦合有多强的“基本参数”。**

我们可以用一个生动的比喻来理解：

- **宇宙的“主题公园”**：想象宇宙中有几个由不同基本力运营的“主题公园”。
  - “电磁力公园”由光子场管理。
  - “强核力公园”由胶子场管理。
  - “弱核力公园”由W/Z玻色子场管理。
- **“荷”是入场券**：一个粒子（即一种场的激发）能否进入某个公园游玩（即参与某种力的相互作用），完全取决于它是否持有对应的“门票”——荷。

### 2.3.1 电荷、色荷、弱荷：门票的种类

- **电荷 (Electric Charge)**：是进入“电磁力公园”的唯一门票。
  - 电子场与电磁场是“耦合”的，所以电子场的激发态——电子，持有这张门票，能够与光子相互作用（吸收或发射光子）。
  - 中微子场与电磁场**不耦合**，所以中微子没有电荷，它被“电磁力公园”拒之门外，光子无法“看见”它。
- **色荷 (Color Charge)**：是进入“强核力公园”的专属门票。只有夸克场和胶子场之间存在这种耦合。
- **弱荷 (Weak Charge)**：是进入“弱核力公园”的门票。所有已知的基本物质粒子都持有这种门票。

### 2.3.2 中微子为何“与世无争”？

现在我们可以精准地回答这个问题了。中微子，作为中微子场的激发，之所以看起来“与世无

争”，能轻易穿透地球，是因为：

- 1. **它不带电荷**：无法进入“电磁力公园”，因此对光和电磁场完全“免疫”。
- 2. **它不带色荷**：无法进入“强核力公园”，因此原子核内部强大的强核力对它毫无作用。

它唯一持有的“门票”是弱荷，所以它只参与极其微弱且短程的弱相互作用。这使得它在宏观世界中表现得像一个几乎不存在的“幽灵粒子”。

## 第二章总结

本章，我们完成了一次根本性的世界观升级。我们从“粒子不守恒”的实验危机出发，找到了更深层的实在——**量子场**。在这个新的图像中：

- 1. **场是构成宇宙的根本“材料”，真空是其基态。**
- 2. **粒子不再是永恒的“砖块”，而是场的量子化“涟漪”或“激发”。**
- 3. **力的作用不再是超距的，而是不同场之间通过“荷”建立的局部“耦合”。**

这个深刻的观念，是我们接下来理解电磁场为何必然存在的关键。我们已经准备好了必要的思想工具，去攀登下一座，也是本书核心的理论高峰——规范对称性。

### 【本章思考题】

- 1. 根据本章的观点，当我们用手电筒照射墙壁时，发生了什么？请尝试用“场”、“激发”、“光子”、“电子场”、“吸收”等关键词来描述这个过程。
- 2. 为什么说“反物质”这个名字虽然很酷，但可能有点误导性？从量子场论的角度看，正电子（电子的反物质）和电子的关系是什么？它们是两种完全不同的“物质”吗？

## 第二章附录：标准模型中的基本场与粒子总结

为了清晰地展现我们在本章讨论的“宇宙基本构成”，下表总结了粒子物理**标准模型**中的基本场、它们各自的激发态（粒子），以及它们所持有或传递的“荷”（参与相互作用的“门票”）。你可以将此表视为我们这个宇宙“戏剧”的最终演员名单。

场的类别	场的名称	激发态：粒子 (Particle)	持有/传递的“荷” (Charge)
物质场 (费米子)	<b>夸克场 (Quarks)</b> (共6种：上/下, 粲/奇, 顶/底)	夸克 (u, d, c, s, t, b)	<b>电荷</b> ( $+2/3e$ 或 $-1/3e$ ), <b>色荷</b> (红/绿/蓝), <b>弱荷</b> (所有三种力的“门票”都持有)
(构成物质的基本单元)	<b>轻子场 (Leptons)</b> (共6种)		
	↳ <b>带电轻子场</b> (e, $\mu$ , $\tau$ )	电子 $e^-$ , $\mu$ 子 $\mu^-$ , $\tau$ 子 $\tau^-$	<b>电荷</b> ( $-e$ ), <b>弱荷</b> (不带色荷, 不参与强相互作用)
	↳ <b>中微子场</b> ( $\nu_e, \nu_\mu, \nu_\tau$ )	电子中微子 $\nu_e$ , $\mu$ 中微子 $\nu_\mu$ , $\tau$ 中微子 $\nu_\tau$	<b>弱荷</b> (仅) (只参与弱相互作用)
规范场 (玻色子)	<b>电磁场</b> (Electromagnetic Field)	<b>光子 (Photon, <math>\gamma</math>)</b>	<b>传递电磁力</b> (自身不带电荷)
(传递基本力的媒介)	<b>弱核力场</b> (Weak Field)	$W^+, W^-, Z^0$ <b>玻色子</b>	<b>传递弱核力</b> (自身携带弱荷)
	<b>强核力场</b> (Strong Field / Gluon Field)	<b>胶子 (Gluon, <math>g</math>)</b> (共8种)	<b>传递强核力</b> (自身携带色荷)
标量场 (玻色子)	<b>希格斯场</b> (Higgs Field)	<b>希格斯玻色子 (Higgs Boson, <math>H^0</math>)</b>	<b>赋予基本粒子静止质量</b> (通过希格斯机制, 其激发本身不直接传递我们熟知的三种力)

注：此表格未包含引力（其传递粒子——引力子，尚未被实验发现）和所有物质粒子对应的反物质粒子（例如，电子场的激发也可以是带正电的“正电子”）。

# 第三章：对称性的胜利——电磁场的必然诞生

## 引言：宇宙的“隐藏菜单”

在前两章，我们将世界拆解为量子场，并意识到“力”是场之间的耦合。但物理学家永不满足：为什么宇宙偏偏选择了**这种**耦合方式？为什么电子**必须**与光子相互作用，且遵循麦克斯韦方程组？

答案隐藏在物理定律的“冗余”之中。我们用来描述世界的数学语言，往往包含了比物理实在更多的信息（例如坐标系的选择）。物理定律必须对这些人为的选择保持“冷漠”或“不变”。这种不变性，就是**对称性**。

本章将向你展示现代物理学最震撼人心的成就之一：**仅仅因为我们要求描述电子的“相位”标准可以在不同时空点随意选取（局部规范对称性），宇宙就必须不得不创造出整个电磁世界来满足这一要求。**

## 3.1 U(1)规范对称性：宇宙的底层语法

在量子力学中，描述一个粒子（如电子）状态的是复数波函数  $\psi(x)$ 。其物理意义在于它的模方  $|\psi|^2$ ，代表粒子在时空点  $x$  出现的概率密度。

注意， $\psi$  是一个复数。我们可以把它写成  $\psi(x) = r(x)e^{i\theta(x)}$ 。这里的相位  $\theta$  是无法直接观测的“冗余信息”。

### 3.1.1 全局相位变换：一个简单的刚性旋转

让我们做一个操作：将全宇宙所有电子波函数的相位同时旋转一个相同的角度  $\alpha$ 。

$$\psi'(x) = e^{i\alpha}\psi(x) \quad (\alpha \text{ 为常数})$$

显然，概率密度不变： $|\psi'|^2 = |e^{i\alpha}\psi|^2 = |\psi|^2$ 。

更进一步，薛定谔方程或狄拉克方程在这样的变换下形式保持不变。这种“牵一发而动全身”且不改变物理定律的对称性，称为**全局U(1)对称性**。（U(1)是描述一维复数旋转的数学群的名字）。

#### 【知识加油站：诺特定理与守恒律】

德国数学家艾米·诺特（Emmy Noether）发现了一个深刻的定理：**每一个连续的全局对称性，都对应一个物理守恒量。**

- 时间平移对称性  $\leftrightarrow$  能量守恒
- 空间平移对称性  $\leftrightarrow$  动量守恒
- 空间旋转对称性  $\leftrightarrow$  角动量守恒
- **全局U(1)相位对称性  $\leftrightarrow$  电荷守恒**

电荷守恒定律，竟然只是宇宙波函数整体相位旋转不变性的一个自然结果！

### 3.1.2 局部相位变换：一个颠覆性的要求

全局对称性虽然优美，但它要求全宇宙“瞬时”同步改变，这在相对论看来是值得怀疑的。物理学家提出极其苛刻的要求：**物理定律应该在“局部”变换下也保持不变。**

这意味着，我有权在地球上把电子相位旋转  $30^\circ$ ，同时在火星上旋转  $90^\circ$ ，而这不应该影响任何物理实验的结果。此时，转角  $\alpha$  不再是常数，而是时空的函数  $\alpha(x)$ 。

$$\psi'(x) = e^{i\alpha(x)}\psi(x)$$

这听起来像是无理取闹，正如我们马上要看到的，这个要求几乎“摧毁”了原有的自由粒子理论。

## 3.2 理论的“崩坏”与“修复”：协变导数的引入

### 3.2.1 “崩坏”：普通导数如何失去了“标准”

物理定律（如运动方程）都包含导数  $\partial_\mu$ （即描述变化率）。让我们看看当波函数的相位标准在各地随意乱变时，导数会变成什么样。

回顾导数的定义： $\partial_\mu \psi(x) \approx \frac{\psi(x+\Delta x) - \psi(x)}{\Delta x}$

这本质上是在**比较**两个不同点  $x$  和  $x + \Delta x$  的波函数。

但是，在局部变换下， $\psi(x)$  乘了  $e^{i\alpha(x)}$ ，而  $\psi(x + \Delta x)$  乘了  $e^{i\alpha(x+\Delta x)}$ 。由于  $\alpha(x) \neq \alpha(x + \Delta x)$ ，这两点的相位基准已经**不同了**！

**拿两个标准不同的东西直接相减，是毫无物理意义的。**

数学上，这表现为“垃圾项”的出现：

$$\partial_\mu \psi' = \partial_\mu (e^{i\alpha(x)} \psi) = e^{i\alpha(x)} \partial_\mu \psi + \underbrace{i(\partial_\mu \alpha) \cdot e^{i\alpha(x)}}_{\text{垃圾项}} \psi$$

这个“垃圾项”含有  $\partial_\mu \alpha$ ，它依赖于我们人为选取的相位转角，破坏了方程的客观性。理论“崩坏”了。

### 3.2.2 “修复”：协变导数 $D_\mu$ 的降临

为了拯救理论，我们必须重新定义“导数”，让它能够抵消掉那个讨厌的“垃圾项”。我们需要引入一个新的“比较系统”，来平滑不同时空点之间的相位标准差异。

我们**发明**一个新的导数，称为**协变导数**  $D_\mu$ ，并**强行要求**它在变换后能够保持干净的形式：

$$D'_\mu \psi' = e^{i\alpha(x)} (D_\mu \psi)$$

为了达到这个目的，我们必须在导数中引入一个“补偿机制”。我们试探性地构造：

$$D_\mu \equiv \partial_\mu + iqA_\mu(x)$$

这里我们引入了两个新东西：

1. 一个全新的**矢量场**  $A_\mu(x)$ ，它负责“记录”各地的相位标准差异。
2. 一个参数  $q$ ，它衡量这个补偿机制的强度。

### 3.2.3 规范场 $A_\mu$ 的必然诞生

现在，我们来推导这个新场  $A_\mu$  必须具备什么性质，才能完成“修复”任务。

将  $D_\mu$  的定义代入我们的要求  $D'_\mu \psi' = e^{i\alpha(x)} (D_\mu \psi)$ ：

- **左边** =  $(\partial_\mu + iqA'_\mu)(e^{i\alpha}\psi) = e^{i\alpha}\partial_\mu\psi + i(\partial_\mu\alpha)e^{i\alpha}\psi + iqA'_\mu e^{i\alpha}\psi$
- **右边** =  $e^{i\alpha}(\partial_\mu\psi + iqA_\mu\psi)$

对比两边，消去相同项  $e^{i\alpha}\partial_\mu\psi$ ，并除以  $ie^{i\alpha}\psi$ （假设  $\psi \neq 0$ ）：

$$\partial_\mu\alpha + qA'_\mu = qA_\mu$$

整理得到  $A_\mu$  的变换规则：

$$A'_\mu = A_\mu - \frac{1}{q}\partial_\mu\alpha$$

(注：物理文献中常令相位变换为  $e^{-iq\theta(x)}$  以使公式更整洁，此处为保持与前文一致采用了简化的推导，核心精神一致。)

### 【从对称性到相互作用：一个必然的推论】

现在，让我们审视这个推导的终点，它揭示了宇宙构造的一条深刻法则。

我们始于一个纯粹的哲学要求：物理定律必须尊重**局部相位对称性**，即允许我们在时空的每一点独立地设定波函数的相位基准。这个看似无害的要求，却导致了现有理论的数学不自洽（普通导数失效）。

为了修复这一内在矛盾，我们**被迫**在理论中引入了一个全新的动力学实体——一个四维矢量场  $A_\mu(x)$ ，并用它构建了协变导数。

最关键的一步在于，我们发现这个新引入的场并非任意的。为了能精确地抵消因局部相位变换产生的“垃圾项”，这个场本身必须遵循一个特定的变换规则：

$$A'_\mu(x) = A_\mu(x) - \frac{1}{q} \partial_\mu \alpha(x)$$

这个变换规则并非我们的选择，而是逻辑的必然。当我们审视这个规则时，一个惊人的事实浮现出来：这**正是**经典电磁学中，描述电磁四维矢量势所必须遵循的**规范变换 (Gauge Transformation)**！

至此，身份被最终指认：

- 那个为了维护局部对称性而必须被引入的“**补偿场**”  $A_\mu$ ，不多不少，正是我们所熟知的**电磁四维矢量势**。
- 那个在协变导数中描述粒子场与补偿场耦合强度的参数  $q$ ，正是**基本电荷**。

这一结论是颠覆性的。它告诉我们，电磁相互作用并非宇宙中一条孤立的基本规则。相反，**电磁场的存在，是宇宙为了维护其更深层次的内在逻辑——U(1)局部规范对称性——而必然设立的一种机制**。它作为“规范场”而诞生，其唯一的使命，就是确保无论观测者如何在时空各处设定自己的相位“时区”，物理定律始终保持其普适与和谐。



## 3.3 电荷的终极定义与相互作用的微观图像

### 3.3.1 电荷 $q$ ：耦合强度的度量

现在我们对“电荷”有了最深刻的理解：

**电荷  $q$  不是一个贴在电子上的标签，而是决定粒子波函数相位对局部规范变换“敏感度”的参数。**

- 如果  $q = 0$ （如中微子），协变导数  $D_\mu$  退化回普通导数  $\partial_\mu$ ，粒子与  $A_\mu$  场脱钩，不参与电磁相互作用。
- $q$  越大，为了维持对称性所需的“补偿”就越多，意味着粒子与电磁场的耦合越强。

### 3.3.2 费曼图的“顶点”：相互作用的起源

理论上，协变导数中的第二项  $iqA_\mu$  就是描述相互作用的核心。在量子场论的计算中，它对应着一个最基本的**相互作用顶点 (Vertex)**。理查德·费曼发明了费曼图，将这种抽象的数学 interaction 视觉化。

这个顶点代表了一个时空点上发生的基本事件：一个物质粒子（如电子）与一个传递力的规范粒子（如光子）发生了相互作用。

A Feynman diagram illustrating a vertex. It consists of a central point. A solid line (representing an electron) enters from the bottom left and exits from the top left. A dashed line (representing a photon) enters from the bottom right and exits from the top right. The lines are labeled with their respective particles: '一个电子入射' (one electron enters) for the incoming solid line, '一个电子出射' (one electron exits) for the outgoing solid line, and '一个光子被吸收或发射' (one photon is absorbed or emitted) for the dashed line.

- 顶点**：代表了相互作用的发生。它的“强度”或发生的概率，正比于耦合常数（电荷） $q$ （在 QED 中是基本电荷  $e$ ）。
- 线**：连接顶点的线代表了粒子的传播。

所有复杂的电磁现象，例如两个电子通过库仑力相互排斥，在 QFT 中都可以被看作是它们通过交换一个或多个“虚光子”（不直接可观测的、传递动量的光子）而完成的。这个过程由两个或更多的基本“顶点”组合而成。

## 第三章总结

本章我们经历了一次纯粹理性的飞跃。我们没有借助任何实验现象，仅仅是坚持了一个看似偏执的信念——“物理定律必须在各地拥有独立的相位标准（局部规范不变性）”，就从数学逻辑中“逼”出了电磁场  $A_\mu$  和电荷  $q$ 。

这不仅解释了电磁场“是什么”，更回答了它“为什么”必须存在。这种\*\*“对称性支配相互作用”\*\*的思想，是现代物理学的最高信条，它不仅统一了电磁力，后来还指引我们发现了弱力和强力的本质（它们分别是更复杂的SU(2)和SU(3)规范对称性的产物）。

### 【本章思考题】

- 类比思考：**想象一个跨国公司（宇宙），它要在不同国家（时空点）发工资（物理定律）。如果各国使用统一货币（全局对称），记账很简单。如果允许各国使用本地货币且汇率随时变动（局部对称），公司需要建立什么机制（引入什么场）才能保证财务体系不崩溃？
- 深度发问：**如果引力也是一种基本力，它是否也可能源于某种时空的“局部对称性”？（提示：广义相对论允许我们在每个时空点自由选择局部惯性系，这确实导致了引力场的引入，称为“微分同胚对称性”）。

## 【第三章附录：费曼图——微观世界的“漫画”】

费曼图不仅仅是漂亮的示意图，它是一套严谨的、将复杂数学积分转化为直观图形的计算规则。每一张图都精确地对应着一个描述该物理过程发生概率的数学表达式。

### 1. 费曼图的构成规则 (“图元词典”)

图元	代表的物理实体	注释
外部实线 (External Fermion Line)	一个真实的、可被探测器观测到的入射或出射的物质粒子（如电子、正电子）。	箭头指向顶点代表入射，背离顶点代表出射。

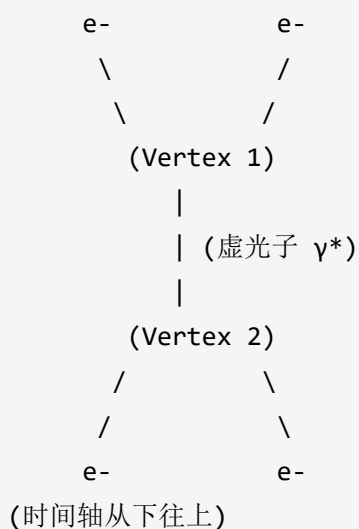
图元	代表的物理实体	注释
外部波浪线 (External Boson Line)	一个真实的、可被探测器观测到的入射或出射的力传递粒子（如光子）。	
内部实线 (Internal Fermion Line / Propagator)	一个在相互作用过程中短暂存在的“虚”物质粒子，它不被直接观测。	代表粒子从一个时空点传播到另一个时空点。
内部波浪线 (Internal Boson Line / Propagator)	一个在相互作用过程中被交换的“虚”力传递粒子（光子），传递动量和能量。	它是“力”的来源。
顶点 (Vertex)	<b>基本相互作用的发生点。</b> 在电磁学中，就是一个电子/正电子吸收或发射一个光子。	这是所有复杂过程的基本构建模块，其强度由耦合常数 $e$ 决定。

**重要原则：**在每个顶点，**能量、动量和电荷都必须守恒。**

## 2. 经典案例解析

### 案例一：电子-电子散射 (库仑排斥)

这是最经典的电磁现象。在QFT中，两个电子并不是隔空相互排斥的，而是通过**交换一个虚光子**来完成的。



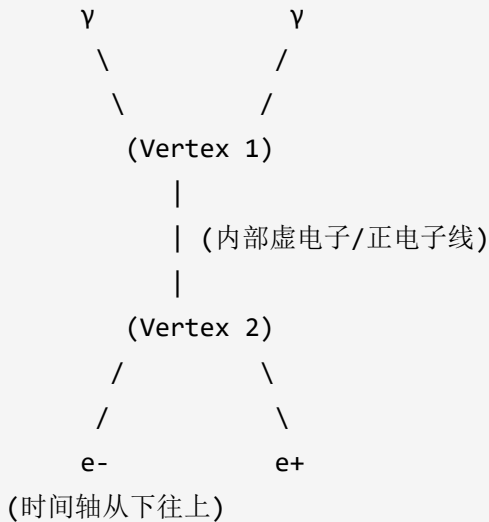
### 物理过程解读：

1. 下方的两个电子（入射粒子）各自向相互作用区域运动。
2. 左边的电子在 **顶点2** 处“抛出”一个虚光子  $\gamma^*$ ，自身因为动量守恒而改变了运动方向。
3. 这个虚光子在时空中传播。
4. 右边的电子在 **顶点1** 处“接住”了这个虚光子，吸收了它的动量，也改变了运动方向。
5. 上方的两个电子（出射粒子）各自飞离。

**结论：**宏观上我们看到的“库仑排斥力”，在微观上是粒子间连续不断地交换“力信使”（虚光子）的结果。这个过程包含**两个**基本顶点，因此其发生的概率大致正比于  $e^2$ 。

### 案例二：电子-正电子湮灭 (Annihilation)

当一个电子 ( $e^-$ ) 和它的反物质粒子——正电子 ( $e^+$ ) 相遇时，它们会“湮灭”成两个光子 ( $\gamma$ )。



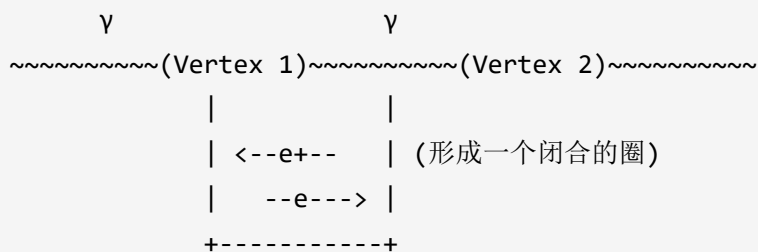
注：在费曼图中，正电子可以被看作是时间反向传播的电子，因此其箭头方向与时间轴相反。

#### 物理过程解读：

1. 一个电子和一个正电子入射。
2. 在 **顶点2**，它们相遇并湮灭，它们的全部能量和动量转化成一个小能的**虚光子**（也可以是虚Z玻色子）。
3. 这个虚光子（或虚Z玻色子）极不稳定，在 **顶点1** 瞬间衰变成一对真实的、可被探测到的光子。

#### 案例三：真空极化 (Vacuum Polarization)

这是一个纯粹的量子效应，揭示了“真空不空”。一个光子在传播过程中，可以短暂地变成一对正负电子虚粒子对，然后再变回光子。



#### 物理过程解读：

1. 一个光子从左向右传播。
2. 在 **顶点1**，它的能量短暂地从电子场的基态（真空）中激发出一个电子-正电子虚粒子对。

3. 这对虚粒子对存在极短的时间，形成一个“圈”（Loop）。
4. 在 **顶点2**，它们迅速再次湮灭，将能量还给电磁场，重新变回一个光子。

**物理意义：**这个过程意味着，我们观察到的“裸”电荷，其周围实际上被这些虚粒子对形成的“云雾”所包围和屏蔽。这导致了物理学中一个非常重要的概念——**电荷的重整化 (Renormalization)**，即我们测量的电荷值与理论中的“裸”电荷值是不同的。

**本附录小结：**费曼图是一门强大的语言，它将量子场论中复杂的数学公式，翻译成了由“传播”和“相互作用”构成的、符合物理直觉的“漫画故事”。通过它，我们得以“窥见”那个由虚粒子构成的、瞬息万变的微观动力学世界。

# 第四章：电磁场的统一几何——张量语言的优雅

## 引言：从“补偿场”到“物理实在”

在第三章，我们从第一性原理出发，论证了为了维护U(1)局部规范对称性，宇宙中必须存在一个四维矢量规范场  $A^\mu$ 。这个  $A^\mu$  作为“补偿场”，保证了物理定律的自治。但它本身是一个依赖于规范选择的数学工具，不直接对应于物理可观测量。一个物理学家在北京选择的  $A^\mu$  和另一位在上海选择的  $A^\mu$  可以有所不同，但他们预测的实验结果必须完全相同。

那么，我们日常在实验室里用仪器测量的电场  $\mathbf{E}$  和磁场  $\mathbf{B}$  究竟是什么？它们如何从这个抽象的  $A^\mu$  中浮现出来？

本章的任务，就是完成这最后，也是最关键的一步：从根本的、但抽象的  $A^\mu$  出发，构建出客观实在、不依赖于规范选择的物理实体。我们将看到，在相对论的四维时空框架下， $\mathbf{E}$  和  $\mathbf{B}$  并非两个独立的矢量场，而是同一个更高维度的几何对象——**电磁场张量**  $F^{\mu\nu}$ ——的不同分量。

## 4.1 从经典势到四维矢量： $A^\mu$ 的确立

历史上， $A^\mu$  这个概念的提出，并非像我们上一章那样从纯理论演绎（Top-Down）而来，而是两条探索路径（Bottom-Up 和 Top-Down）意外交汇的辉煌成果。

### 4.1.1 线索一（Bottom-Up）：从麦克斯韦方程追溯 $V$ 和 $\mathbf{A}$

在19世纪，物理学家们就已经发现，可以通过引入两个“势”（Potential）来简化麦克斯韦方程组中的两条（无源方程）。

#### 【数学加油站：矢量分析恒等式】

矢量微积分中有两个基本恒等式，它们是理解“势”的关键：

- 旋度的散度恒为零**：对于任意矢量场  $\mathbf{A}$ ，恒有  $\nabla \cdot (\nabla \times \mathbf{A}) \equiv 0$ 。
- 梯度的旋度恒为零**：对于任意标量场  $V$ ，恒有  $\nabla \times (\nabla V) \equiv 0$ 。

#### 1. 利用高斯磁定律 $\nabla \cdot \mathbf{B} = 0$ ：

这条定律的数学形式，与恒等式1完全一致。这启发我们，既然  $\mathbf{B}$  场的散度处处为零，那么它**总是**可以被表示为另一个矢量场  $\mathbf{A}$  的旋度。我们称  $\mathbf{A}$  为**磁矢量势**（Magnetic Vector Potential）。

$$\mathbf{B} \equiv \nabla \times \mathbf{A}$$

只要  $\mathbf{B}$  这样定义，高斯磁定律就自动满足了，不再需要单独求解。

## 2. 利用法拉第电磁感应定律 $\nabla \times \mathbf{E} = -\frac{\partial \mathbf{B}}{\partial t}$ :

现在，将  $\mathbf{B} = \nabla \times \mathbf{A}$  代入法拉第定律：

$$\nabla \times \mathbf{E} = -\frac{\partial(\nabla \times \mathbf{A})}{\partial t}$$

考虑到时间和空间的偏导数可以交换次序：

$$\nabla \times \mathbf{E} = -\nabla \times \left( \frac{\partial \mathbf{A}}{\partial t} \right)$$

移项得到：

$$\nabla \times \left( \mathbf{E} + \frac{\partial \mathbf{A}}{\partial t} \right) = 0$$

这个组合  $(\mathbf{E} + \frac{\partial \mathbf{A}}{\partial t})$  的旋度为零，根据恒等式2，它**总是**可以被表示为某个标量场  $V$  的负梯度。我们称  $V$  为**电标势 (Electric Scalar Potential)**，也就是我们熟知的电势。

$$\mathbf{E} + \frac{\partial \mathbf{A}}{\partial t} = -\nabla V$$

整理后，我们得到电场  $\mathbf{E}$  的表达式：

$$\mathbf{E} = -\nabla V - \frac{\partial \mathbf{A}}{\partial t}$$

**经典结论：**早在相对论诞生前，物理学就已揭示，可被直接测量的  $\mathbf{E}$  和  $\mathbf{B}$  场，可以由两个更基本的、但更抽象的“势”——一个标量  $V$  和一个矢量  $\mathbf{A}$ ——通过微分运算派生出来。

### 4.1.2 线索二 (Top-Down)：相对论协变性对四维矢量的要求

爱因斯坦的狭义相对论要求，所有物理定律都必须在洛伦兹变换下保持形式不变（协变性）。这意味着，物理量必须被恰当地组织成四维时空中的标量、四维矢量、或更高阶的张量。

我们已经知道，电荷密度  $\rho$  和三维电流密度  $\mathbf{J}$  可以被完美地统一成一个**四维电流密度  $J^\mu$** ：

$$J^\mu = (c\rho, \mathbf{J})$$

这个  $J^\mu$  在洛伦兹变换下，其分量的变换行为和一个标准的四维位置矢量  $x^\mu = (ct, \mathbf{x})$  完全一致。

在描述场与源相互作用的拉格朗日量中，核心的相互作用项形式为  $\mathcal{L}_{\text{interaction}} = -J^\mu A_\mu$ 。为了使这一项成为一个洛伦兹不变量（标量），如果  $J^\mu$  是一个四维矢量，那么与它耦合的场  $A_\mu$  **最自然、最简洁的选择也必须是一个四维矢量**。



于是，一个纯粹来自理论自洽性的要求出现了：必须存在一个**四维矢量势**  $A^\mu$ 。

### 4.1.3 终极“指认”：洛伦兹变换下的完美契合

现在，两条线索汇合了。我们手中有一个来自经典电磁学的组合  $(V, \mathbf{A})$ ，和一个来自相对论要求的未知四维矢量  $A^\mu = (A^0, A^1, A^2, A^3)$ 。它们之间是什么关系？

答案是通过检验它们在洛伦兹变换下的“行为举止”来揭晓的。

**大胆假设：**让我们猜测它们之间的关系是  $A^\mu = (V/c, \mathbf{A})$ 。这个猜测是否正确，取决于它能否通过洛伦兹变换的严格检验。

- **标准四维矢量的洛伦兹变换** (设S'系相对S系以速度 $v$ 沿 $x$ 轴运动):

$$\begin{aligned}A'^0 &= \gamma(A^0 - \frac{v}{c}A^1) \\A'^1 &= \gamma(A^1 - \frac{v}{c}A^0)\end{aligned}$$

- **电磁势的洛伦兹变换** (通过麦克斯韦方程推导出的已知结果):

$$\begin{aligned}V' &= \gamma(V - vA_x) \\A'_x &= \gamma(A_x - \frac{v}{c^2}V)\end{aligned}$$

**检验开始：**

1. **检验空间分量**  $A'^1$ :

$A'^1 = \gamma(A^1 - \frac{v}{c}A^0)$ 。将我们的假设  $A^1 = A_x$  和  $A^0 = V/c$  代入：

$$A'_x = \gamma(A_x - \frac{v}{c}(\frac{V}{c})) = \gamma(A_x - \frac{v}{c^2}V)$$

**完美吻合！**

2. **检验时间分量**  $A'^0$ :

$A'^0 = \gamma(A^0 - \frac{v}{c}A^1)$ 。将我们的假设  $A'^0 = V'/c$ ,  $A^0 = V/c$  和  $A^1 = A_x$  代入：

$$V'/c = \gamma(\frac{V}{c} - \frac{v}{c}A_x)$$

$$V' = \gamma(V - vA_x)$$

**再次完美吻合！**

### 最终结论

这个惊人的一致性，让我们得以充满信心地做出这个物理学史上最重要的“指认”之一：电势  $V$  和磁矢量势  $\mathbf{A}$  并非两个独立的实体，它们正是**同一个四维矢量势**  $A^\mu$  的时间和空间分

量。

$$A^\mu = (V/c, \mathbf{A}) = (A^0, A^1, A^2, A^3)$$

至此，电与磁的统一，在“势”这个更深的层次上，被相对论的四维时空框架完美地实现了。

## 4.2 电磁场张量 $F^{\mu\nu}$ ：规范不变的物理实在

$A^\mu$  虽然根本，但它有一个“缺陷”：它是规范依赖的。这意味着我们可以对  $A^\mu$  进行规范变换  $A'_\mu = A_\mu - \partial_\mu f$ ，而不会改变任何可观测的物理结果。因此， $A^\mu$  本身不代表一个可直接测量的物理量。

我们需要从  $A^\mu$  出发，构建一个**规范不变的**、代表着物理实在的量。这个量，就是**电磁场张量**  $F^{\mu\nu}$ 。

### 4.2.1 定义与构造： $F^{\mu\nu} = \partial^\mu A^\nu - \partial^\nu A^\mu$

我们定义二阶反对称张量  $F^{\mu\nu}$  如下：

$$F^{\mu\nu} \equiv \partial^\mu A^\nu - \partial^\nu A^\mu$$

其中  $\partial^\mu = (\frac{\partial}{\partial(ct)}, -\nabla)$  是四维协变导数算符。这个定义的反对称性是显而易见的：  
 $F^{\nu\mu} = -F^{\mu\nu}$ 。

### 4.2.2 详细证明：为何 $F^{\mu\nu}$ 是规范不变的？

让我们来证明这个构造的绝妙之处。我们来计算变换后的张量  $F'^{\mu\nu}$ ：

$$F'^{\mu\nu} = \partial^\mu A'^\nu - \partial^\nu A'^\mu$$

代入规范变换  $A'^\mu = A^\mu + \partial^\mu f$ （这里  $f$  是任意标量函数）：

$$\begin{aligned} F'^{\mu\nu} &= \partial^\mu (A^\nu + \partial^\nu f) - \partial^\nu (A^\mu + \partial^\mu f) \\ &= (\partial^\mu A^\nu - \partial^\nu A^\mu) + (\partial^\mu \partial^\nu f - \partial^\nu \partial^\mu f) \end{aligned}$$

对于行为良好的函数，偏导数的顺序可以交换，即  $\partial^\mu \partial^\nu f = \partial^\nu \partial^\mu f$ 。因此，后面括号中的项为零！

所以我们得到了一个至关重要的结果：

$$F'^{\mu\nu} = F^{\mu\nu}$$

**电磁场张量  $F^{\mu\nu}$  在规范变换下保持不变。** 无论我们如何选择“数学上”的  $A^\mu$ ，我们计算出

的“物理上”的  $F^{\mu\nu}$  都是唯一确定的。 $F^{\mu\nu}$  因此代表了客观的、可测量的电磁场实在。

### 4.2.3 矩阵展开：E 和 B 的“四维之家”

现在，我们将  $F^{\mu\nu}$  的定义式完全展开，看看 **E** 和 **B** 是如何“居住”在这个4x4的反对称矩阵中的。

$$A^\mu = (V/c, A_x, A_y, A_z)$$

$$\partial_\mu = (\frac{\partial}{\partial(ct)}, \frac{\partial}{\partial x}, \frac{\partial}{\partial y}, \frac{\partial}{\partial z})$$

- **计算时-空分量 (如  $F^{10}$ )** (注意：为与后面矩阵的标准形式一致，我们算  $F^{01}$ )

$$F^{01} = \partial^0 A^1 - \partial^1 A^0 = \frac{\partial A_x}{\partial(ct)} - (-\frac{\partial(V/c)}{\partial x}) = \frac{1}{c}(\frac{\partial A_x}{\partial t} + \frac{\partial V}{\partial x}) = -E_x/c$$

$$\text{同理可得： } F^{02} = -E_y/c, F^{03} = -E_z/c。$$

- **计算空-空分量 (如  $F^{12}$ )**

$$F^{12} = \partial^1 A^2 - \partial^2 A^1 = (-\frac{\partial A_y}{\partial x}) - (-\frac{\partial A_x}{\partial y}) = \frac{\partial A_x}{\partial y} - \frac{\partial A_y}{\partial x} = -(\nabla \times \mathbf{A})_z = -B_z$$

$$\text{同理可得： } F^{13} = B_y, F^{23} = -B_x$$

将所有分量组装成  $F^{\mu\nu}$  矩阵：

$$F^{\mu\nu} = \begin{pmatrix} 0 & -E_x/c & -E_y/c & -E_z/c \\ E_x/c & 0 & -B_z & B_y \\ E_y/c & B_z & 0 & -B_x \\ E_z/c & -B_y & B_x & 0 \end{pmatrix}$$

**几何内涵解读：**

这个矩阵优美地揭示了 **E** 和 **B** 的本质区别与联系：

- **电场 E** 占据了第一行和第一列，它们连接了**时间维度** ( $\mu = 0$ ) 和**空间维度** ( $\nu = 1, 2, 3$ )。因此，电场本质上是描述“时空混合”效应的量。
- **磁场 B** 占据了右下角的3x3子矩阵，它们只连接了**空间维度与空间维度**。因此，磁场本质上是描述场在\*\*纯空间中几何形态（卷曲度）\*\*的量。

## 4.3 洛伦兹变换下的电磁场

我们已经知道，切换参考系时，**E** 和 **B** 会相互“混合”。这种混合的精确数学描述，就是对**电磁场张量  $F^{\mu\nu}$**  进行一次洛伦兹变换。

一个二阶张量  $T^{\mu\nu}$  在洛伦兹变换  $\Lambda$  下的变换规则是：

$$F'^{\alpha\beta} = \Lambda^\alpha_\mu \Lambda^\beta_\nu F^{\mu\nu}$$

这是一个系统的矩阵乘法。将  $F^{\mu\nu}$  的矩阵形式和洛伦兹变换矩阵  $\Lambda$ （对于沿x轴以速度v运动）代入，经过繁琐但直接的代数运算，可以得到：

- 平行于运动方向的分量不变：

$$\begin{aligned}E'_x &= E_x \\B'_x &= B_x\end{aligned}$$

- 垂直于运动方向的分量发生混合：

$$\begin{aligned}E'_y &= \gamma(E_y - vB_z) & B'_y &= \gamma(B_y + \frac{v}{c^2}E_z) \\E'_z &= \gamma(E_z + vB_y) & B'_z &= \gamma(B_z - \frac{v}{c^2}E_y)\end{aligned}$$

这些公式，就是第一章思想实验的最终定量答案！

#### 【观念辨析：“两次补偿”机制】

物理定律的自洽性是如何通过场变换和力公式协同保证的？

1. **第一次补偿（场的变换）**：当你切换参考系时，大自然自动地、根据上述公式，为你呈现一套新的、混合了的  $\mathbf{E}'$  和  $\mathbf{B}'$  场。这是客观现实的变换。
2. **第二次补偿（力的公式）**：洛伦兹力公式中的  $\mathbf{v} \times \mathbf{B}$  项，是一个内置的“相对论校正器”。它允许你在**不切换参考系**的情况下，就能计算出运动电荷所感受到的、等效于“切换到其静止系后所看到的额外电场”的力。

这是一个天衣无缝的系统，确保了不同观察者对同一物理事件的描述是协调一致的。

## 第四章总结

本章，我们完成了从抽象到具体，再从具体到统一的宏伟构建。我们从经典电磁学和相对论两条路径出发，共同“指认”了四维矢量势  $A^\mu$ 。为了寻找可测量的物理实在，我们利用  $A^\mu$  构造了规范不变的**电磁场张量**  $F^{\mu\nu}$ 。

在这个优美的四维几何对象中，我们发现电场和磁场不再是独立的实体，而仅仅是这个统一张量在时空和纯空间中的不同“投影”。最终，通过张量的洛伦兹变换，我们定量地推导出了电场和磁场是如何根据观测者的运动状态而相互转化，完美地解释了第一章的那个核心思想实验。

我们现在拥有了描述电磁场本身的、最强大、最优雅的语言。在下一章，我们将用这门语言，将曾经看似复杂的四条麦克斯韦方程，谱写成一首简洁和谐的宇宙交响乐。

---

### 【本章思考题】

1. (基础) 在一个参考系中，只存在一个沿z轴方向的均匀磁场  $\mathbf{B} = (0, 0, B_0)$ ，电场为零。另一个观察者以速度  $\mathbf{v} = (v, 0, 0)$  沿x轴飞过。请利用本章的变换公式，计算这个观察者会测量到的电场  $\mathbf{E}'$  和磁场  $\mathbf{B}'$  是什么？
2. (进阶) “Aharonov-Bohm效应”表明，即使在磁场  $\mathbf{B} = 0$  的区域，只要磁矢量势  $\mathbf{A}$  不为零，运动的电子相位也会受到影响。这似乎说明  $\mathbf{A}$  也是“物理实在”。这与我们本章所说的“ $A^\mu$ 是依赖规范的数学工具”有矛盾吗？请查阅资料并思考，这个效应告诉了我们关于“势”的更深层次的什么信息？

# 第五章：宇宙的交响乐——麦克斯韦方程组的张量协奏

## 引言：从四座山峰到一座山脉

在经典物理学中，麦克斯韦方程组是四座巍峨的山峰，各自描述了电磁世界的一个侧面（电荷如何产生电场、磁场线为何闭合、变化的磁场如何产生电场、电流和变化的电场如何产生磁场）。然而，在相对论的四维时空框架下，这四座山峰被揭示为同一座宏伟山脉的不同视角。

本章的使命，就是用我们在前一章构建的电磁场张量  $F^{\mu\nu}$ ，将这四条定律重新谱写为一首和谐的、在所有参考系中都回响着同样旋律的“宇宙交响乐”。我们将看到，麦克斯韦的四条方程被完美地归入两个张量方程：

- 一个描述场如何由“源”（电荷与电流）产生（**有源方程**）。
- 另一个则描述场自身必须遵守的内在几何约束（**无源方程**）。

### 5.1 有源方程： $\partial_\mu F^{\mu\nu} = \mu_0 J^\nu$

这个方程被称为**非齐次麦克斯韦方程** (Inhomogeneous Maxwell's Equations)，因为它包含了源项  $J^\nu$ 。

$$\partial_\mu F^{\mu\nu} = \mu_0 J^\nu$$

这是一个四维矢量方程，等号两边都是四维矢量，因此它等价于四个独立的标量方程（对应  $\nu = 0, 1, 2, 3$ ）。这四个方程，不多不少，正好对应着经典的高斯电场定律和安培-麦克斯韦定律。

**核心思想：** 这个方程在物理上回答了“**场从何而来？**”以及“**源如何驱动场？**”的问题。它将场的时空变化（左侧的四维散度  $\partial_\mu F^{\mu\nu}$ ）与电荷和电流的分布（右侧的源  $J^\nu$ ）直接联系起来。

**展开推导的准备工作：**

- 电磁场张量  $F^{\mu\nu}$ ：

$$F^{\mu\nu} = \begin{pmatrix} 0 & -E_x/c & -E_y/c & -E_z/c \\ E_x/c & 0 & -B_z & B_y \\ E_y/c & B_z & 0 & -B_x \\ E_z/c & -B_y & B_x & 0 \end{pmatrix}$$

- **四维电流密度**  $J^\nu$ :  $J^\nu = (c\rho, J_x, J_y, J_z)$
- **四维度数算符**  $\partial_\mu$ :  $\partial_\mu = (\partial_0, \partial_1, \partial_2, \partial_3) = (\frac{\partial}{\partial(ct)}, \frac{\partial}{\partial x}, \frac{\partial}{\partial y}, \frac{\partial}{\partial z})$
- **展开**  $\partial_\mu F^{\mu\nu}$ : 遵循爱因斯坦求和约定对哑指标  $\mu$  求和:

$$\partial_\mu F^{\mu\nu} = \partial_0 F^{0\nu} + \partial_1 F^{1\nu} + \partial_2 F^{2\nu} + \partial_3 F^{3\nu}$$

### 5.1.1 逐分量推导: 时间分量 ( $\nu = 0$ ) $\rightarrow$ 高斯电场定律

我们令  $\nu = 0$ , 展开有源方程:

$$\partial_\mu F^{\mu 0} = \mu_0 J^0 \implies \partial_0 F^{00} + \partial_1 F^{10} + \partial_2 F^{20} + \partial_3 F^{30} = \mu_0 (c\rho)$$

从  $F^{\mu\nu}$  矩阵中取出  $\nu = 0$  这一列的四个分量代入:

$$F^{00} = 0, F^{10} = E_x/c, F^{20} = E_y/c, F^{30} = E_z/c.$$

$$\frac{\partial}{\partial(ct)}(0) + \frac{\partial}{\partial x}\left(\frac{E_x}{c}\right) + \frac{\partial}{\partial y}\left(\frac{E_y}{c}\right) + \frac{\partial}{\partial z}\left(\frac{E_z}{c}\right) = \mu_0 c\rho$$

将常数  $1/c$  提取出来:

$$\frac{1}{c}\left(\frac{\partial E_x}{\partial x} + \frac{\partial E_y}{\partial y} + \frac{\partial E_z}{\partial z}\right) = \mu_0 c\rho$$

我们立刻认出, 括号中的项正是**电场  $\mathbf{E}$  的散度  $\nabla \cdot \mathbf{E}$** 。

$$\frac{1}{c}(\nabla \cdot \mathbf{E}) = \mu_0 c\rho \implies \nabla \cdot \mathbf{E} = \mu_0 c^2 \rho$$

最后, 代入光速与真空电磁学常数之间的基本关系  $c^2 = 1/(\epsilon_0 \mu_0)$ :

$$\nabla \cdot \mathbf{E} = \mu_0 \left( \frac{1}{\epsilon_0 \mu_0} \right) \rho \implies \boxed{\nabla \cdot \mathbf{E} = \frac{\rho}{\epsilon_0}}$$

**结论:** 有源张量方程的时间分量, 在展开后, 完美地重现了**高斯电场定律**。

### 5.1.2 逐分量推导：空间分量 ( $\nu = 1, 2, 3$ ) $\rightarrow$ 安培-麦克斯韦定律

现在我们令  $\nu = 1$ ，展开有源方程的空间x分量：

$$\partial_\mu F^{\mu 1} = \mu_0 J^1 \implies \partial_0 F^{01} + \partial_1 F^{11} + \partial_2 F^{21} + \partial_3 F^{31} = \mu_0 J_x$$

从  $F^{\mu\nu}$  矩阵中取出  $\nu = 1$  这一列的四个分量代入：

$$F^{01} = -E_x/c, F^{11} = 0, F^{21} = -B_z, F^{31} = B_y.$$

$$\frac{\partial}{\partial(ct)}\left(-\frac{E_x}{c}\right) + \frac{\partial}{\partial x}(0) + \frac{\partial}{\partial y}(-B_z) + \frac{\partial}{\partial z}(B_y) = \mu_0 J_x$$

$$-\frac{1}{c^2} \frac{\partial E_x}{\partial t} - \frac{\partial B_z}{\partial y} + \frac{\partial B_y}{\partial z} = \mu_0 J_x$$

整理一下，并将  $\frac{\partial B_y}{\partial z} - \frac{\partial B_z}{\partial y}$  识别为**磁场旋度** ( $\nabla \times \mathbf{B}$ ) 的 **x 分量**。

$$(\nabla \times \mathbf{B})_x = \mu_0 J_x + \frac{1}{c^2} \frac{\partial E_x}{\partial t}$$

再次代入  $1/c^2 = \epsilon_0 \mu_0$ ：

$$(\nabla \times \mathbf{B})_x = \mu_0 J_x + \epsilon_0 \mu_0 \frac{\partial E_x}{\partial t}$$

**结论：** 有源张量方程的空间x分量，完美重现了**安培-麦克斯韦定律的x分量**。同理，当  $\nu = 2$  和  $\nu = 3$  时，我们会分别得到该定律的y分量和z分量。将这三个空间分量合并为一个矢量方程，我们就得到了完整的**安培-麦克斯韦定律**：

$$\nabla \times \mathbf{B} = \mu_0 \mathbf{J} + \epsilon_0 \mu_0 \frac{\partial \mathbf{E}}{\partial t}$$

## 5.2 无源方程：比安基恒等式的物理回响

这个方程被称为**齐次麦克斯韦方程** (Homogeneous Maxwell's Equations)，因为它不包含源



项。

$$\partial_\lambda F_{\mu\nu} + \partial_\mu F_{\nu\lambda} + \partial_\nu F_{\lambda\mu} = 0$$

这是一个对三个指标进行轮换求和并置零的方程。

**核心思想：** 这个方程不关心场是“谁生的”，只规定了场一旦存在，其**自身的几何结构和演化规则**必须是什么样的。

#### 【数学起源：势存在的必然结果】

这个方程，在数学上被称为**比安基恒等式 (Bianchi Identity)**。它并不是一条独立的物理定律，而是  $F_{\mu\nu}$  由四维势  $A_\mu$  定义 ( $F_{\mu\nu} = \partial_\mu A_\nu - \partial_\nu A_\mu$ ) 的一个直接的、自动满足的数学推论。

$$\partial_\lambda (\partial_\mu A_\nu - \partial_\nu A_\mu) + \partial_\mu (\partial_\nu A_\lambda - \partial_\lambda A_\nu) + \partial_\nu (\partial_\lambda A_\mu - \partial_\mu A_\lambda) = 0$$

展开后，所有项都会因为二阶偏导数可以交换次序而两两抵消。因此，它比有源方程更根本，因为它反映了“势”的存在。任何可以由一个势场派生出来的场，都必须自动满足这个比安基恒等式。

### 5.2.1 纯空间分量 ( $\lambda, \mu, \nu = 1, 2, 3$ ) $\rightarrow$ 高斯磁定律

我们选择一组纯粹的空间指标： $(\lambda, \mu, \nu) = (1, 2, 3)$ 。

$$\partial_1 F_{23} + \partial_2 F_{31} + \partial_3 F_{12} = 0$$

从  $F_{\mu\nu}$ （下标形式）矩阵中取出对应的分量代入 ( $F_{23} = B_x, F_{31} = B_y, F_{12} = B_z$ )：

$$\frac{\partial B_x}{\partial x} + \frac{\partial B_y}{\partial y} + \frac{\partial B_z}{\partial z} = 0 \implies \boxed{\nabla \cdot \mathbf{B} = 0}$$

**结论：** 无源方程的纯空间分量，完美重现了**高斯磁定律**。它等价于宣称**宇宙中不存在磁单极子（磁荷）**。

### 5.2.2 时空混合分量 ( $\lambda = 0, \mu, \nu = 1, 2, 3$ ) $\rightarrow$ 法拉第电磁感应定律

现在我们选择一组包含时间指标  $0$  的混合分量： $(\lambda, \mu, \nu) = (0, 1, 2)$ 。

$$\partial_0 F_{12} + \partial_1 F_{20} + \partial_2 F_{01} = 0$$

从  $F_{\mu\nu}$  矩阵中取出对应的分量代入 ( $F_{12} = B_z, F_{20} = -E_y/c, F_{01} = E_x/c$ )：

$$\frac{\partial}{\partial(ct)}(B_z) + \frac{\partial}{\partial x}(-E_y/c) + \frac{\partial}{\partial y}(E_x/c) = 0$$

方程两边同乘以  $c$  并整理：

$$\frac{\partial B_z}{\partial t} - \frac{\partial E_y}{\partial x} + \frac{\partial E_x}{\partial y} = 0 \implies \frac{\partial E_y}{\partial x} - \frac{\partial E_x}{\partial y} = -\frac{\partial B_z}{\partial t}$$

左边是**电场旋度** ( $\nabla \times \mathbf{E}$ ) 的  $z$  分量。

$$(\nabla \times \mathbf{E})_z = -\frac{\partial B_z}{\partial t}$$

**结论：** 选择不同的时空混合分量，将分别得到法拉第定律的  $x, y, z$  分量，合并后即为完整的**法拉第电磁感应定律**：

$$\nabla \times \mathbf{E} = -\frac{\partial \mathbf{B}}{\partial t}$$

## 5.3 四维洛伦兹力： $f^\mu = qF^{\mu\nu}u_\nu$

我们已经有了描述场如何产生和演化的方程，最后还需要一个方程来描述**场如何作用于物质**。这由四维形式的洛伦兹力定律给出。

$$f^\mu = qF^{\mu\nu}u_\nu$$

- $f^\mu$  是**四维力** (**闵可夫斯基力**)。它的时间分量  $f^0$  描述了功率 (能量变化率)，空间分量 ( $f^1, f^2, f^3$ ) 构成了我们熟悉的三维力  $\mathbf{F}$ 。
- $u_\nu$  是粒子的**四维速度**：  $u_\nu = (\gamma c, -\gamma \mathbf{v})$ 。

### 5.3.1 从四维力到三维力的推导

我们来展开  $f^\mu$  的空间分量，以  $f^1$  为例：

$$f^1 = qF^{1\nu}u_\nu = q(F^{10}u_0 + F^{11}u_1 + F^{12}u_2 + F^{13}u_3)$$

代入  $F^{\mu\nu}$  和  $u_\nu$  的分量：

$$f^1 = q[(\frac{E_x}{c})(\gamma c) + (0)(-\gamma v_x) + (-B_z)(-\gamma v_y) + (B_y)(-\gamma v_z)]$$

$$f^1 = q\gamma[E_x + (v_y B_z - v_z B_y)]$$

我们认出  $v_y B_z - v_z B_y$  正是矢量叉乘 ( $\mathbf{v} \times \mathbf{B}$ ) 的  $x$  分量。

$$f^1 = q\gamma[E_x + (\mathbf{v} \times \mathbf{B})_x] = \gamma F_x$$

在相对论中，三维力  $\mathbf{F}$  与四维力空间分量  $\mathbf{f}$  的关系是  $\mathbf{f} = \gamma \mathbf{F}$ 。因此，我们重现了经典的三维

洛伦兹力定律：

$$\mathbf{F} = q(\mathbf{E} + \mathbf{v} \times \mathbf{B})$$

## 第五章总结

我们见证了物理学史上最美妙的统一之一。麦克斯韦的四条经典方程，被证明只是两个更根本的四维张量方程在三维世界中的不同“投影”：

- 有源方程**  $\partial_\mu F^{\mu\nu} = \mu_0 J^\nu$ ：一个四维矢量方程，包含了**高斯电场定律**和**安培-麦克斯韦定律**。它告诉我们，**源（电荷与电流）是电磁场张量的“四维散度”**。
- 无源方程（比安基恒等式）**：一个自动满足的几何约束，包含了**高斯磁定律**和**法拉第电磁感应定律**。它告诉我们，**电磁场必须可以由一个四维势  $A^\mu$  导出**，这等价于磁单极子不存在。

再加上描述“场与物质”相互作用的四维洛伦兹力，整个经典电磁动力学的宏伟画卷，便以一种前所未有的简洁、和谐与深刻的方式，完整地展现在我们面前。

### 【本章思考题】

- (基础) 电荷守恒定律的微分形式是  $\frac{\partial \rho}{\partial t} + \nabla \cdot \mathbf{J} = 0$ 。请证明，这个定律可以从有源麦克斯韦方程  $\partial_\mu F^{\mu\nu} = \mu_0 J^\nu$  中自动推导出来。（提示：对方程两边同时求四维散度  $\partial_\nu$ ，并利用  $F^{\mu\nu}$  的反对称性）。
- (进阶) 如果未来的实验真的发现了磁单极子，这意味着  $\nabla \cdot \mathbf{B} \neq 0$ ，那么比安基恒等式将被打破。这将对我们理论的哪个最基本假设构成挑战？我们可能需要引入什么新的物理量来修正无源方程？（提示：思考电荷与电流如何构成四维电流密度  $J^\nu$ ）。

# 第六章：理论的顶点与地平线——通往终极统一

## 引言：寻找万物的“种子”

在前面的章节中，我们已经将经典的四条麦克斯韦方程组和洛伦兹力，统一在了优美的两个四维张量方程之下。然而，对于理论物理学家来说，两个方程仍然显得过于繁复。他们永恒的追求是：能否找到一个唯一的、更为根本的“种子”，从中能够生长出整片电磁理论的森林？

答案是肯定的。这个“种子”，就是**最小作用量原理 (Principle of Least Action)**，以及为电磁场量身定做的**拉格朗日量密度 (Lagrangian Density)**。本章，我们将首先展示这一终极的经典统一，然后将视野扩展到整个物理学，展望那统一所有自然力的终极梦想。

## 6.1 拉格朗日量与最小作用量原理

### 6.1.1 电磁理论的单一“种子”： $\mathcal{L}$

**最小作用量原理**是经典力学和场论中最深刻、最强大的基本原理之一。它宣称：

一个物理系统从一个状态演化到另一个状态，它所遵循的真实物理路径，是使其“作用量  $S$ ”取得极值（通常是最小值）的路径。

**作用量  $S$**  被定义为**拉格朗日量密度  $\mathcal{L}$**  在整个四维时空中的积分： $S = \int \mathcal{L} d^4x$ 。

$\mathcal{L}$  本身是一个标量函数，它概括了系统的全部动力学信息，通常可以理解为“动能密度减去势能密度”。

对于电磁场与电流相互作用的完整系统，其拉格朗日量密度被发现具有以下极其简洁和深刻的形式：

$$\mathcal{L} = -\frac{1}{4\mu_0} F_{\mu\nu} F^{\mu\nu} - J^\mu A_\mu$$

让我们来解剖这个“万物之源”：

- $\mathcal{L}_{\text{field}} = -\frac{1}{4\mu_0} F_{\mu\nu} F^{\mu\nu}$ ：**场的动力学项**。
  - 这一项只涉及场自身（通过  $F_{\mu\nu}$ ），描述了自由电磁场在时空中的行为。它在功能上类似于场的“动能”。
  - $F_{\mu\nu} F^{\mu\nu}$  是一个**洛伦兹标量**。这保证了我们的理论从一开始就是相对论协变的。
- $\mathcal{L}_{\text{interaction}} = -J^\mu A_\mu$ ：**相互作用项**。

- 这一项像一座桥梁，将\*\*源（四维电流密度  $J^\mu$ ）与场的势（四维矢量势  $A_\mu$ ）\*\*直接耦合在了一起。
- 负号表明，场与源的相互作用倾向于降低系统的整体能量，这是一种吸引性的耦合，驱动着相互作用的发生。

这个单一的标量表达式  $\mathcal{L}$ ，蕴含了我们之前讨论过的所有电磁动力学信息。

## 6.1.2 从 $\mathcal{L}$ 推导有源麦克斯韦方程的数学之旅

我们如何从这个单一的“种子” $\mathcal{L}$ 中“生长”出麦克斯韦方程？我们将使用一个通用的数学工具——**欧拉-拉格朗日方程**，它正是将最小作用量原理付诸实践的“操作手册”。

我们的策略是：将欧拉-拉格朗日方程拆解为两个部分，逐一计算，最后再组合起来。

### 【数学加油站：场论的欧拉-拉格朗日方程】

对于一个场论，如果拉格朗日量密度  $\mathcal{L}$  是场  $\phi$  及其导数  $\partial_\mu \phi$  的函数，那么使作用量  $S$  取极值的场方程由下式给出：

$$\partial_\mu \left( \frac{\partial \mathcal{L}}{\partial (\partial_\mu \phi)} \right) - \frac{\partial \mathcal{L}}{\partial \phi} = 0$$

在我们的电磁理论中，基本的动力学变量（场）是**四维矢量势**  $A_\mu$ 。所以，我们的方程应该是：

$$\partial_\nu \left( \frac{\partial \mathcal{L}}{\partial (\partial_\nu A_\mu)} \right) - \frac{\partial \mathcal{L}}{\partial A_\mu} = 0$$

这里的  $\mu$  是自由指标，代表这个方程实际是四个独立的方程（ $\mu = 0, 1, 2, 3$ ）。

### 第一步：计算第二项 $\frac{\partial \mathcal{L}}{\partial A_\mu}$ (最简单的部分)

我们先来处理方程中比较简单的第二项。我们的拉格朗日量为：

$$\mathcal{L} = -\frac{1}{4\mu_0} F_{\alpha\beta} F^{\alpha\beta} - J^\alpha A_\alpha$$

(这里我们使用希腊字母  $\alpha, \beta$  作为求和的“哑指标”，以避免与我们要求导的自由指标  $\mu$  混淆。)

我们要计算  $\mathcal{L}$  对  $A_\mu$  的偏导数。

- 第一项  $\mathcal{L}_{\text{field}} = -\frac{1}{4\mu_0} F_{\alpha\beta} F^{\alpha\beta}$  只包含  $A_\mu$  的**导数** (通过  $F_{\alpha\beta} = \partial_\alpha A_\beta - \partial_\beta A_\alpha$ )，而不直接包含  $A_\mu$  本身。因此，它对  $A_\mu$  的偏导为零。
- 我们只需要对第二项  $\mathcal{L}_{\text{interaction}} = -J^\alpha A_\alpha$  求导：

$$\frac{\partial \mathcal{L}}{\partial A_\mu} = \frac{\partial}{\partial A_\mu} (-J^\alpha A_\alpha) = -J^\alpha \frac{\partial A_\alpha}{\partial A_\mu}$$

导数  $\frac{\partial A_\alpha}{\partial A_\mu}$  的含义是：当  $\alpha$  和  $\mu$  是同一个指标时，结果为1；否则为0。这正是**克罗内克δ函数**  $\delta_\alpha^\mu$  的定义。

$$\frac{\partial \mathcal{L}}{\partial A_\mu} = -J^\alpha \delta_\alpha^\mu = -J^\mu$$

克罗内克δ的作用就是将求和指标  $\alpha$  替换为自由指标  $\mu$ 。

### 第一步结论：

$$\frac{\partial \mathcal{L}}{\partial A_\mu} = -J^\mu$$

### 第二步：计算第一项 $\partial_\nu \left( \frac{\partial \mathcal{L}}{\partial (\partial_\nu A_\mu)} \right)$ (核心推导)

这部分是核心，我们将它分解为两个子步骤来完成。

#### 子步骤 2a：计算括号内的导数 $\frac{\partial \mathcal{L}}{\partial (\partial_\nu A_\mu)}$

现在， $\mathcal{L}$  中的相互作用项  $-J^\alpha A_\alpha$  不包含  $A_\mu$  的导数，所以我们只对场项求导。

$$\frac{\partial \mathcal{L}}{\partial (\partial_\nu A_\mu)} = \frac{\partial}{\partial (\partial_\nu A_\mu)} \left( -\frac{1}{4\mu_0} F_{\alpha\beta} F^{\alpha\beta} \right)$$

利用链式法则和  $F^{\alpha\beta}$  与  $F_{\alpha\beta}$  的线性关系，上式可以简化为：

$$= -\frac{1}{4\mu_0} \cdot 2 \cdot F^{\alpha\beta} \frac{\partial F_{\alpha\beta}}{\partial(\partial_\nu A_\mu)} = -\frac{1}{2\mu_0} F^{\alpha\beta} \frac{\partial F_{\alpha\beta}}{\partial(\partial_\nu A_\mu)}$$

现在，代入  $F_{\alpha\beta} = \partial_\alpha A_\beta - \partial_\beta A_\alpha$  并求导：

$$\frac{\partial F_{\alpha\beta}}{\partial(\partial_\nu A_\mu)} = \frac{\partial(\partial_\alpha A_\beta - \partial_\beta A_\alpha)}{\partial(\partial_\nu A_\mu)} = \frac{\partial(\partial_\alpha A_\beta)}{\partial(\partial_\nu A_\mu)} - \frac{\partial(\partial_\beta A_\alpha)}{\partial(\partial_\nu A_\mu)}$$

这里的导数  $\frac{\partial(\partial_\alpha A_\beta)}{\partial(\partial_\nu A_\mu)}$  同样是在问：这两个项什么时候是同一个东西？答案是：当导数指标  $\alpha = \nu$  **并且** 场的指标  $\beta = \mu$  时。所以，结果是两个克罗内克 $\delta$ 的乘积：

$$\frac{\partial(\partial_\alpha A_\beta)}{\partial(\partial_\nu A_\mu)} = \delta_\alpha^\nu \delta_\beta^\mu \quad \text{以及} \quad \frac{\partial(\partial_\beta A_\alpha)}{\partial(\partial_\nu A_\mu)} = \delta_\beta^\nu \delta_\alpha^\mu$$

将这个结果代回：

$$\frac{\partial \mathcal{L}}{\partial(\partial_\nu A_\mu)} = -\frac{1}{2\mu_0} F^{\alpha\beta} (\delta_\alpha^\nu \delta_\beta^\mu - \delta_\beta^\nu \delta_\alpha^\mu)$$

克罗内克 $\delta$ 的作用是进行指标替换：

$$= -\frac{1}{2\mu_0} (F^{\nu\mu} - F^{\mu\nu})$$

最后，利用电磁场张量的反对称性  $F^{\nu\mu} = -F^{\mu\nu}$ ：

$$= -\frac{1}{2\mu_0} (-F^{\mu\nu} - F^{\mu\nu}) = -\frac{1}{2\mu_0} (-2F^{\mu\nu}) = \frac{1}{\mu_0} F^{\mu\nu}$$

**子步骤 2b：对结果再求四维散度  $\partial_\nu$**

现在，我们对上一步的结果进行最后的操作：

$$\partial_\nu \left( \frac{\partial \mathcal{L}}{\partial(\partial_\nu A_\mu)} \right) = \partial_\nu \left( \frac{1}{\mu_0} F^{\mu\nu} \right) = \frac{1}{\mu_0} \partial_\nu F^{\mu\nu}$$

**第二步结论：**

$$\partial_\nu \left( \frac{\partial \mathcal{L}}{\partial(\partial_\nu A_\mu)} \right) = \frac{1}{\mu_0} \partial_\nu F^{\mu\nu}$$

### 第三步：组合两项，得到最终方程

现在我们将第一步和第二步的结论代入完整的欧拉-拉格朗日方程：

$$\partial_\nu \left( \frac{\partial \mathcal{L}}{\partial(\partial_\nu A_\mu)} \right) - \frac{\partial \mathcal{L}}{\partial A_\mu} = 0$$

$$\frac{1}{\mu_0} \partial_\nu F^{\mu\nu} - (-J^\mu) = 0$$

整理一下，就得到了麦克斯韦方程组的有源部分！

$$\partial_\nu F^{\mu\nu} = -\mu_0 J^\mu$$

为了与第五章的习惯写法  $\partial_\mu F^{\mu\nu} = \mu_0 J^\nu$  保持一致，我们可以对方程进行如下操作：

1. 将方程两边同时用度规张量  $\eta_{\mu\alpha}$  作用，将自由指标  $\mu$  降下： $\partial_\nu F_\alpha{}^\nu = -\mu_0 J_\alpha$
2. 然后重新命名指标（例如，将  $\alpha$  命名为  $\nu$ ）并再次升标，就可以得到标准形式。这里的符号差异源于我们选择的拉格朗日量符号约定。在物理上，它们是完全等价的。

**推导结论：**

我们成功地从一个单一的标量函数  $\mathcal{L}$  和一个单一的普适原理（最小作用量）出发，通过纯粹而严谨的数学变分运算，推导出了包含高斯定律和安培-麦克斯韦定律的**有源麦克斯韦方程**。而无源方程（比安基恒等式）则作为  $F^{\mu\nu}$  定义的几何推论而自动满足。这展现了理论物理追求的极致简洁与和谐之美。



### 6.1.3 为何说拉格朗日量是更本质的统一？

1. **经济性与普适性**：它用一个标量  $\mathcal{L}$  替代了多个矢量/张量方程。而且，最小作用量原理是几乎所有基础物理理论的基石。
2. **对称性与守恒律的直接联系（诺特定理）**：拉格朗日形式主义有一个极其深刻和优美的推论——**诺特定理（Noether's Theorem）**。该定理指出，理论的每一种连续对称性，都必然对应着一个守恒量。拉格朗日量  $\mathcal{L}$  的形式直接体现了理论所具有的对称性，从而直接揭示了其内在的守恒定律，如电荷守恒。

## 6.2 物理学的圣杯：万有理论的展望

我们已经将电磁理论统一在了拉格朗日量的框架下。然而， $\mathcal{L}_{\text{EM}}$  只是宇宙总拉格朗日量的一部分。物理学的终极梦想，就是找到那个唯一的、包罗万象的“**终极拉格朗日量**”。这就是\*\*万有理论（Theory of Everything, ToE）\*\*的探索。

### 6.2.1 大统一理论（GUT）：力的“趋同”

GUT试图将电磁力（U(1)群）、弱核力（SU(2)群）和强核力（SU(3)群）统一在一个更大的规范对称群之下。其基本思想是，在极高的能量下，这三种力的强度会趋于一致，它们是同一种“统一力”在低能下的不同表现。

### 6.2.2 弦理论/M理论：万物皆为弦音

弦理论认为宇宙最基本的构成单元不再是点粒子，而是一维的、振动着的“弦”。弦的不同振动模式，对应着我们观察到的不同粒子。一种振动模式表现为电子，另一种表现为光子，还有一种特定的闭弦振动模式，其性质恰好与传递引力的**引力子**完全吻合！

### 6.2.3 圈量子引力（LQG）：时空的“像素化”

LQG是另一个尝试量子化引力的主要竞争者。它认为时空本身就是量子化的，是由离散的“几何量子”（面积和体积的最小单元）构成的。引力被看作是这个量子化时空几何自身的动态演化。

# 后记：一份探索的邀请

至此，我们已经完成了从经典直觉到现代物理学核心思想的系统性旅程。我们看到，看似复杂的电磁现象，背后遵循着极其深刻而优美的对称性原理和几何结构。我们理解了场与粒子的关系，见证了相对论如何将时空与电磁场融为一体，并最终领略了拉格朗日形式主义带来的终极简洁。

这份文档为你提供的，不仅仅是知识的集合，更是一种**物理学的思维方式**：从现象中提炼模型，用数学语言精确表述，通过对称性寻求更深层的统一，并时刻准备着用更根本的理论去颠覆和重构现有的认知。

物理学的探索之路是无尽的。标准模型之外，还有暗物质、暗能量的广袤未知；量子引力的迷雾，仍在等待被驱散。我们希望这份文档不仅仅是解答了你现有问题的终点，更能成为你开启新的、更宏大探索之旅的起点。

保持你的好奇心，继续追问那个“为什么”。因为在物理学的世界里，每一个深刻的问题，都可能是一扇通往全新宇宙图景的大门。